

# Transfert de radicaux dans les systèmes biologiques: Les ribonucléotide réductases

**Marc Fontecave**

*Laboratoire de Chimie et Biologie des Métaux, Université Joseph Fourier, CNRS, CEA/DSV/iRTSV  
CEA-Grenoble 17 rue des martyrs 38054 Grenoble cedex 9, France  
mfontecave@cea.fr; Phone: (0033)438789103 ; Fax: (0033)438789124*

*Collège de France, 11 Place Marcelin Berthelot, 75231 Paris Cedex 05*

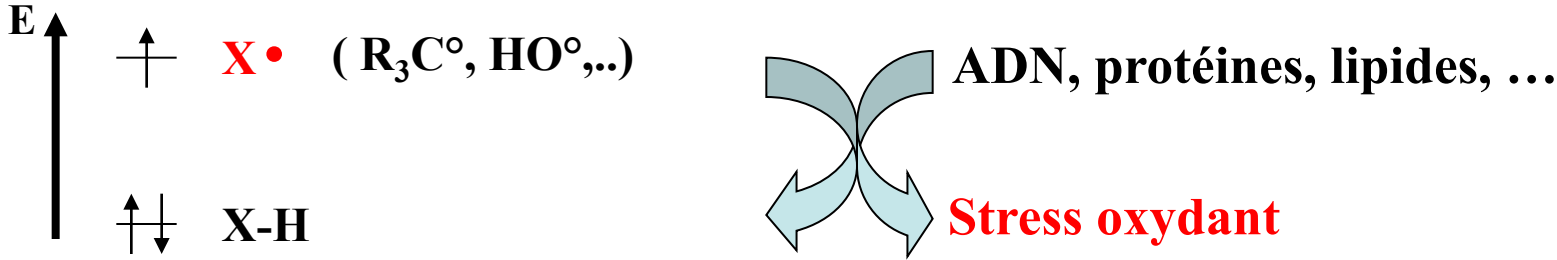


COLLÈGE  
DE FRANCE  
— 1530 —

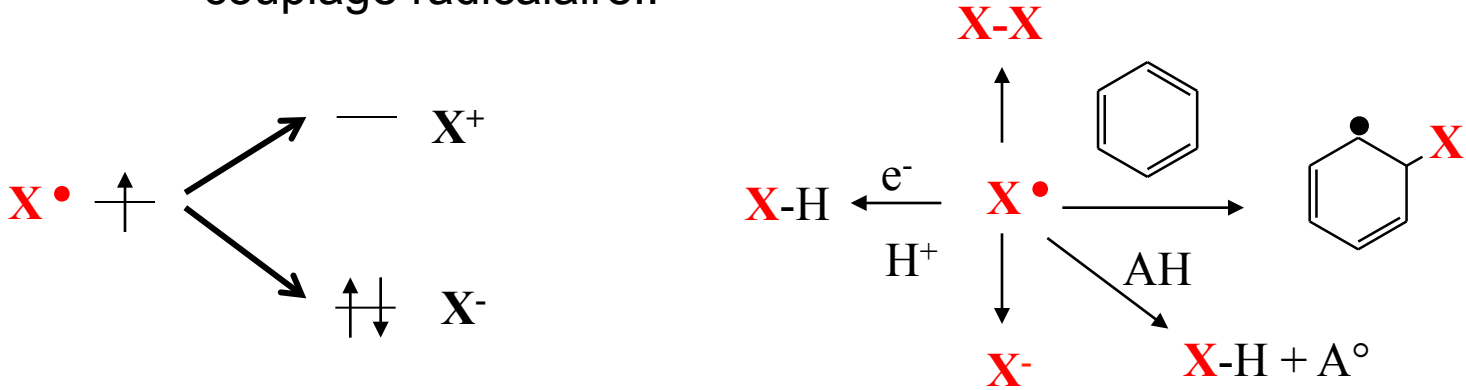


# Radicaux libres

➔ **Le « dogme »**: des espèces chimiques très réactives  
 incontrôlables et toxiques  
 incompatibles avec le vivant  
 stress oxydant: vieillissement, pathologies

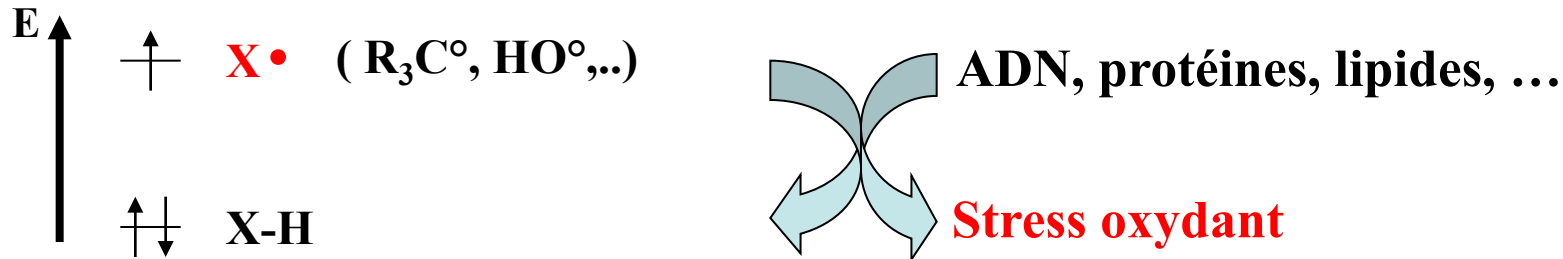


Réactions de  $X^\bullet$ : arrachement d'atomes H, coupure de liaisons, addition sur C insaturé, couplage radicalaire..



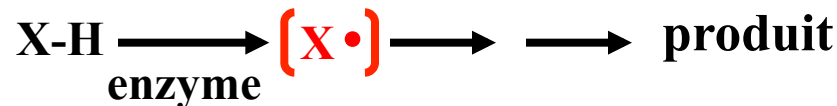
# Radicaux libres

➔ **Le « dogme »:** des espèces chimiques très réactives  
incontrôlables et toxiques  
incompatibles avec le vivant  
stress oxydant: vieillissement, pathologies



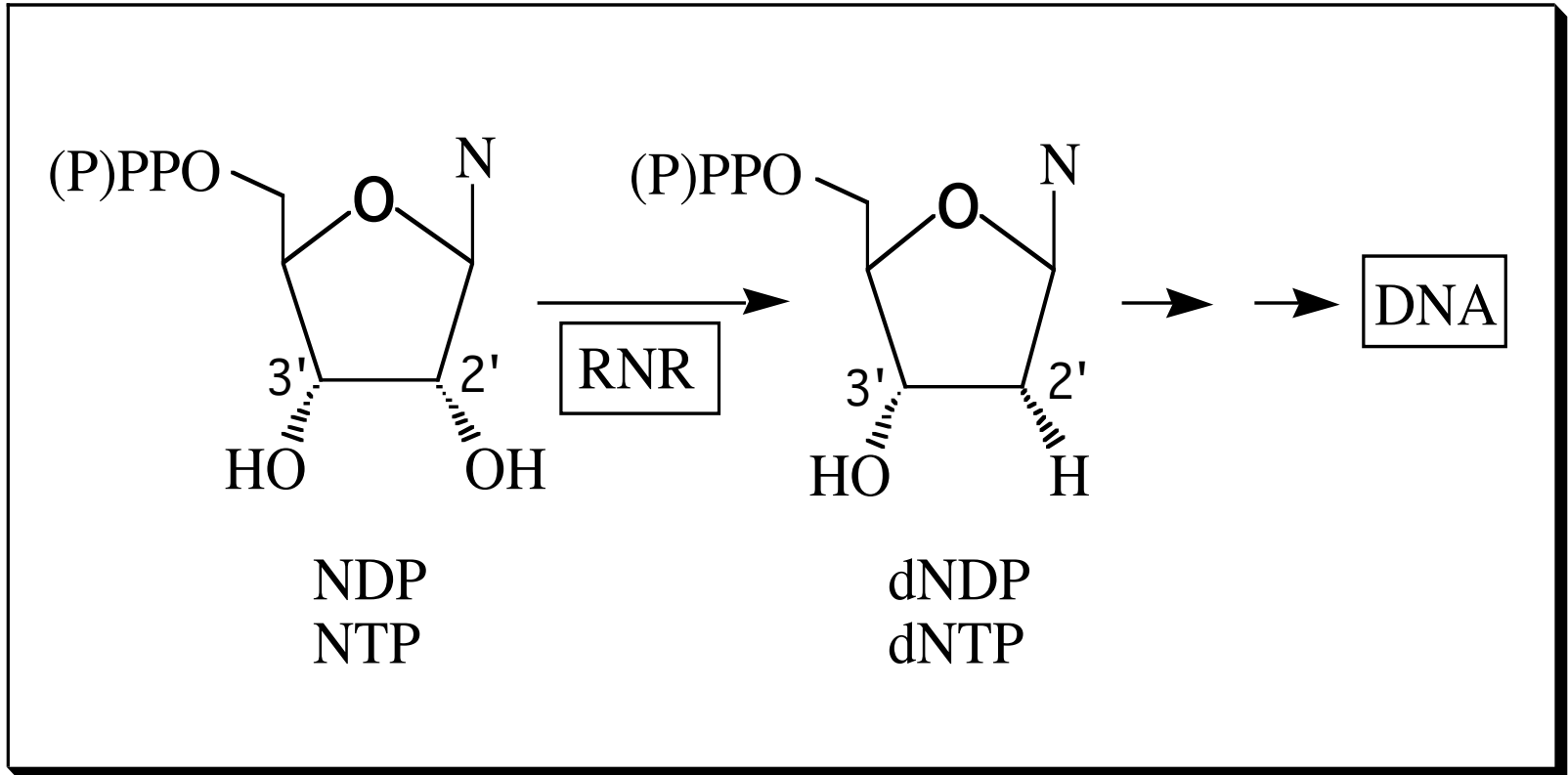
Réactions de X°: arrachement d'atomes H, coupure de liaisons, addition sur C insaturé, couplage radicalaire..

➔ **La réalité:** des centaines de réactions biologiques « radicalaires » !!



Le cas des ribonucléotide réductases et des enzymes de la famille « Radical-SAM »

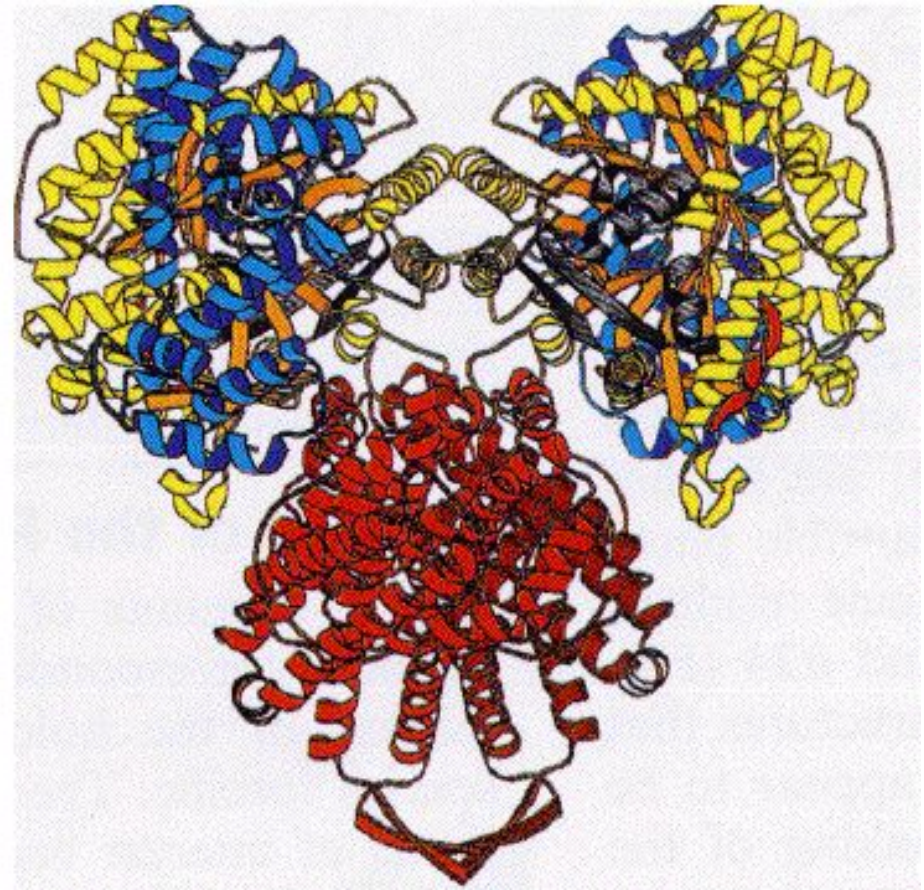
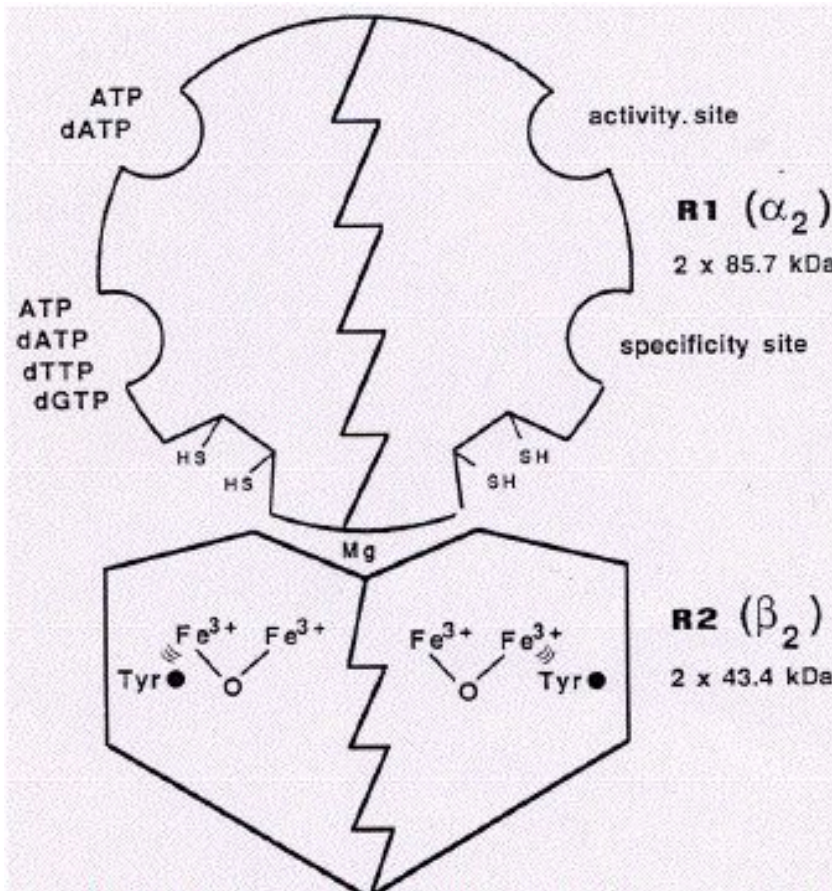
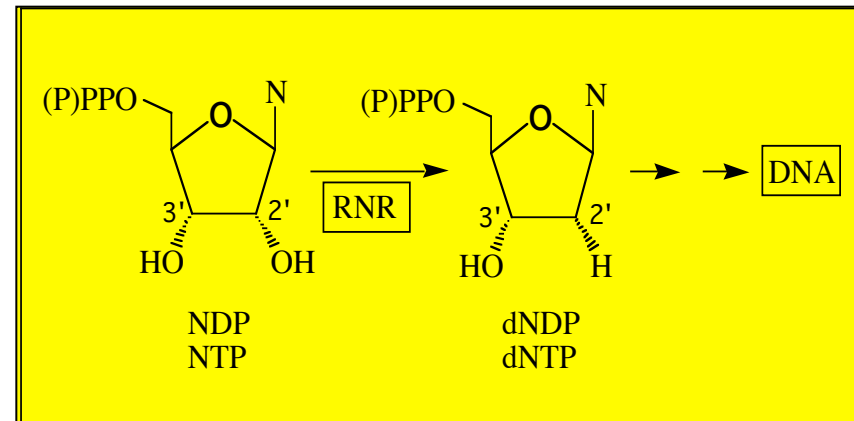
# RiboNucléotide Réductase



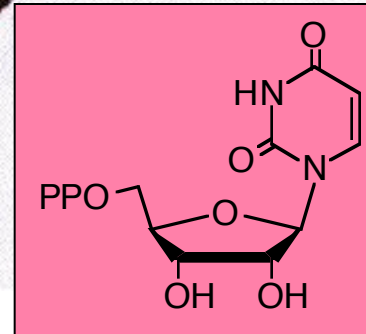
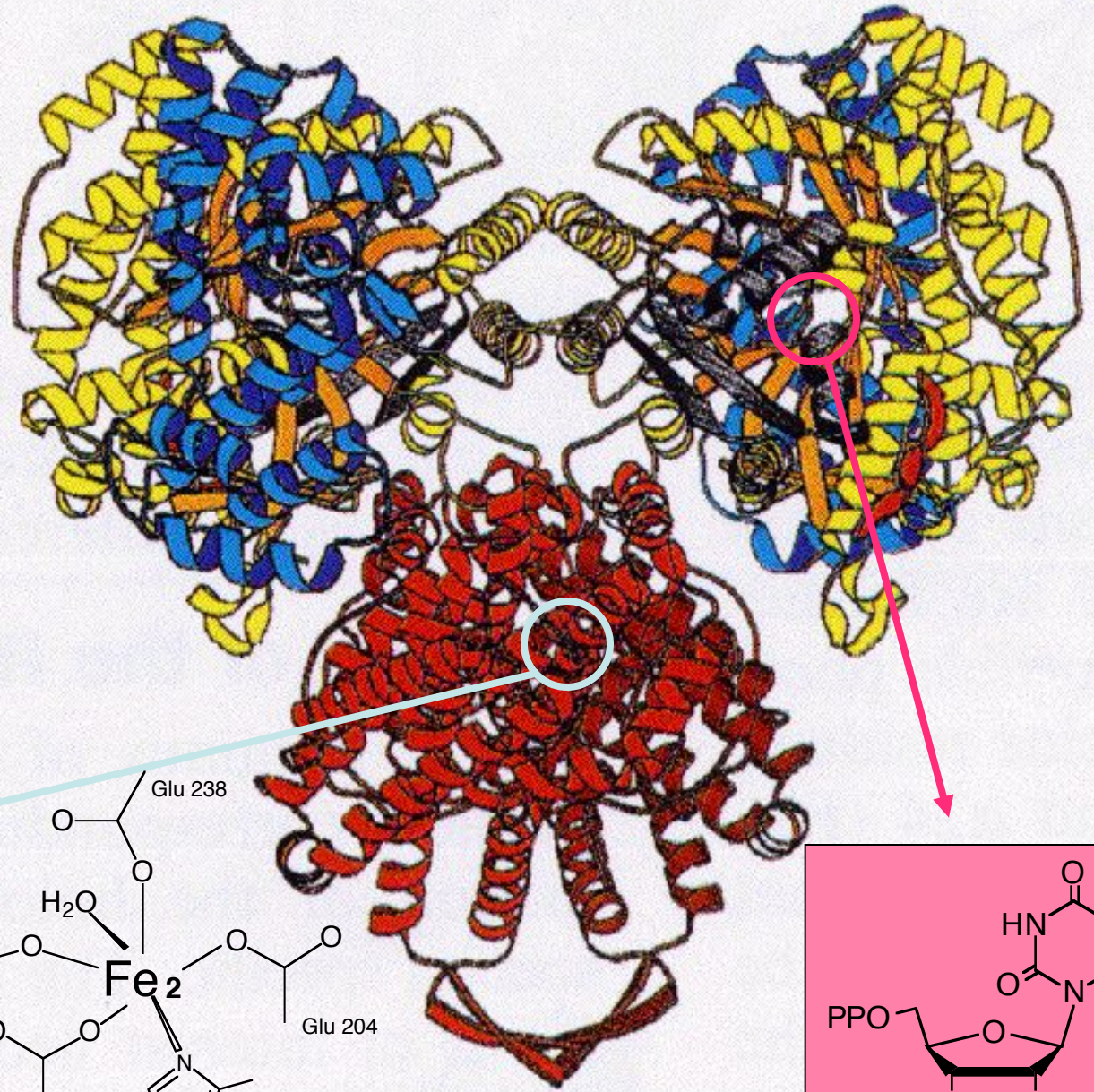
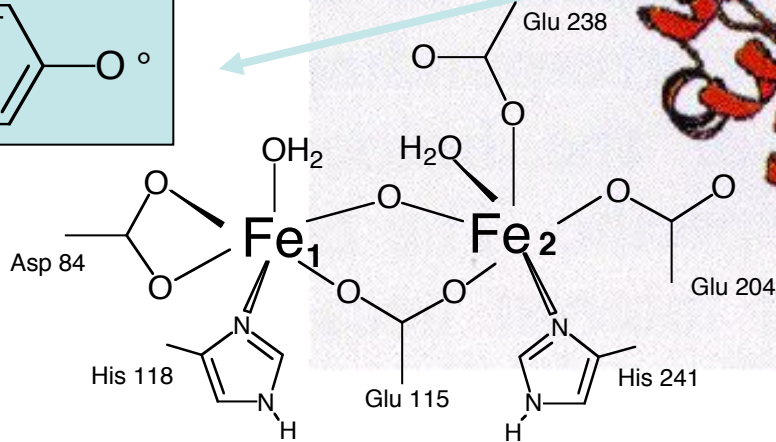
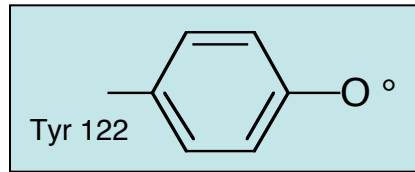
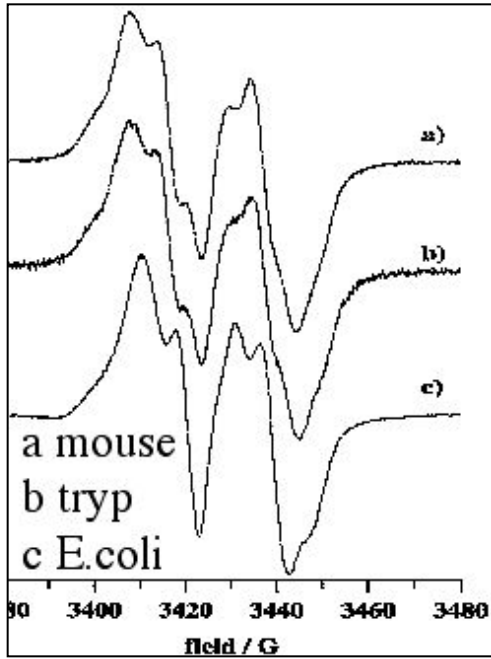
# Ribonucléotide réductase

## Structure et mécanismes

P. Reichard Annu. Rev. Biochem (2006)  
 H. Eklund Nature (1990); Nature (1994)  
 J. Stubbe Chem Rev (1998); Chem Rev (2003)



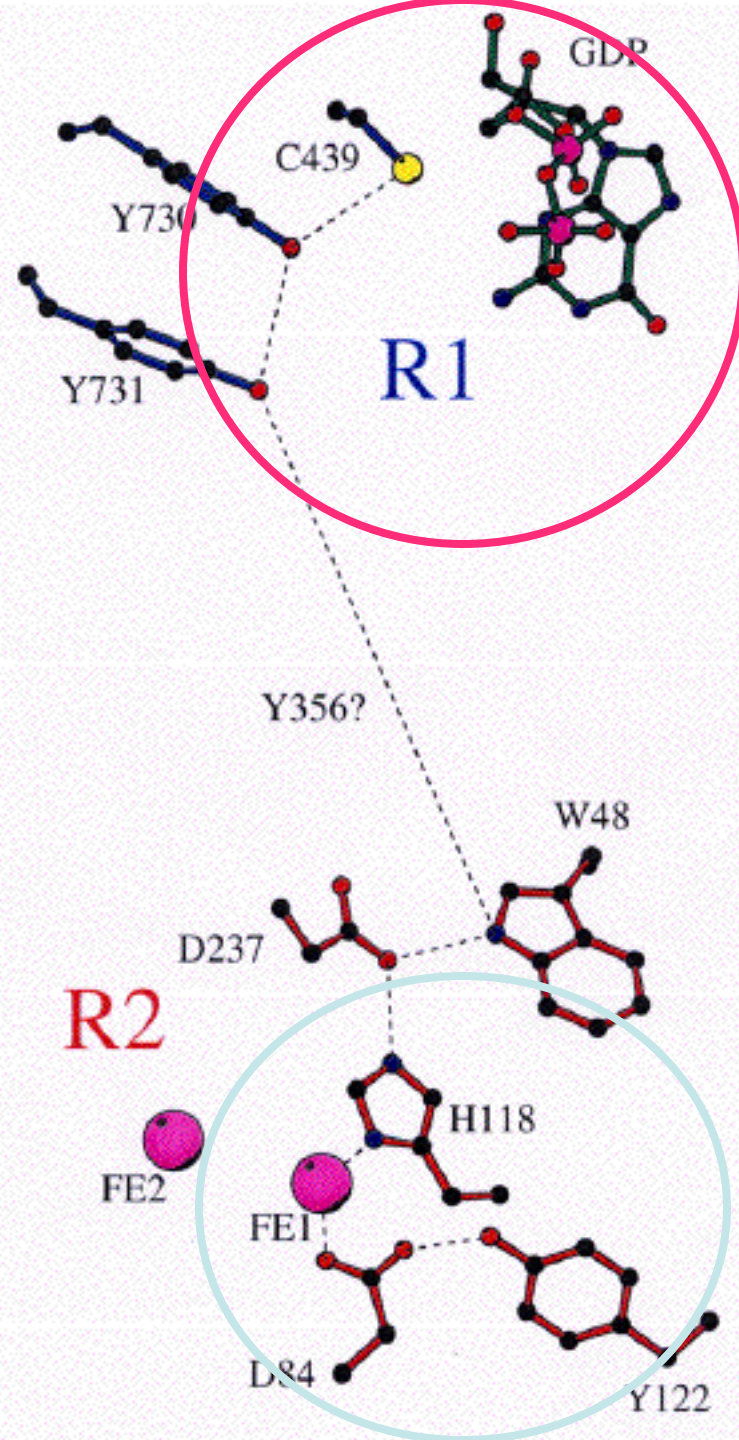
# Une protéine radicalaire!

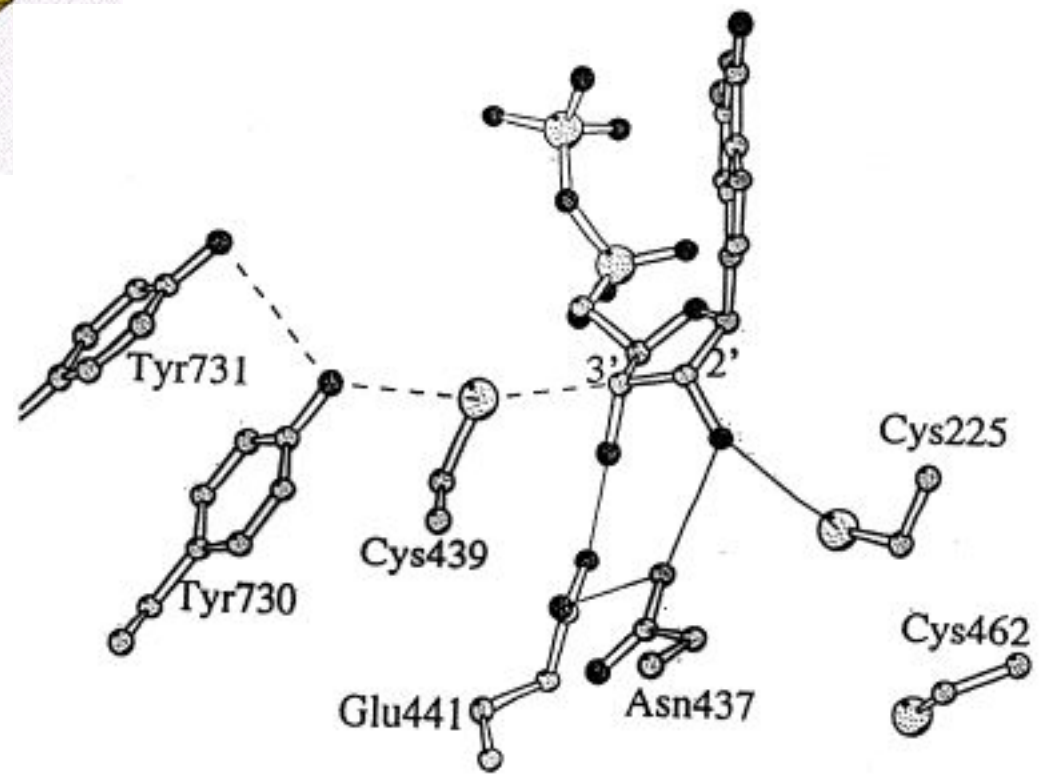
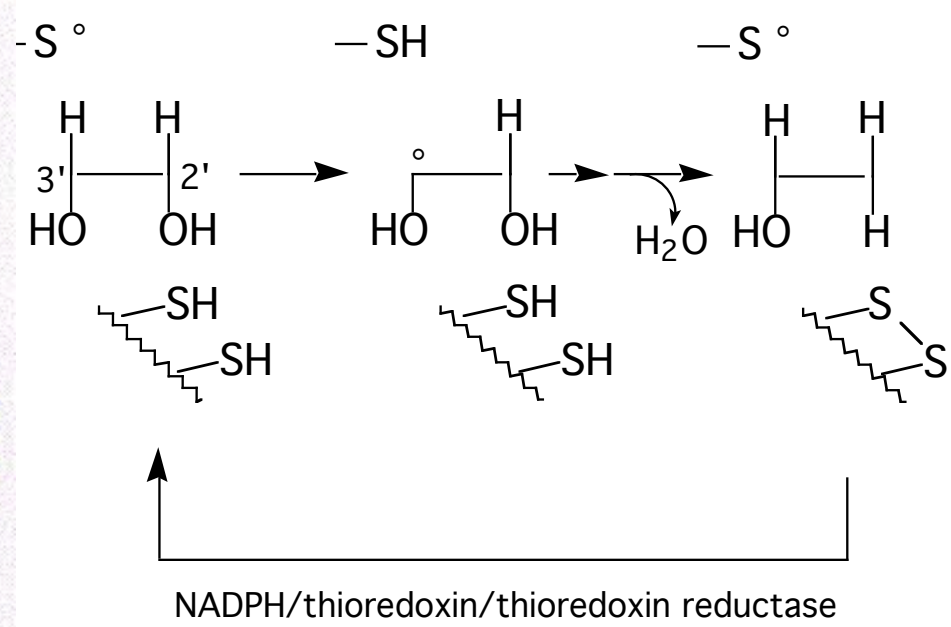
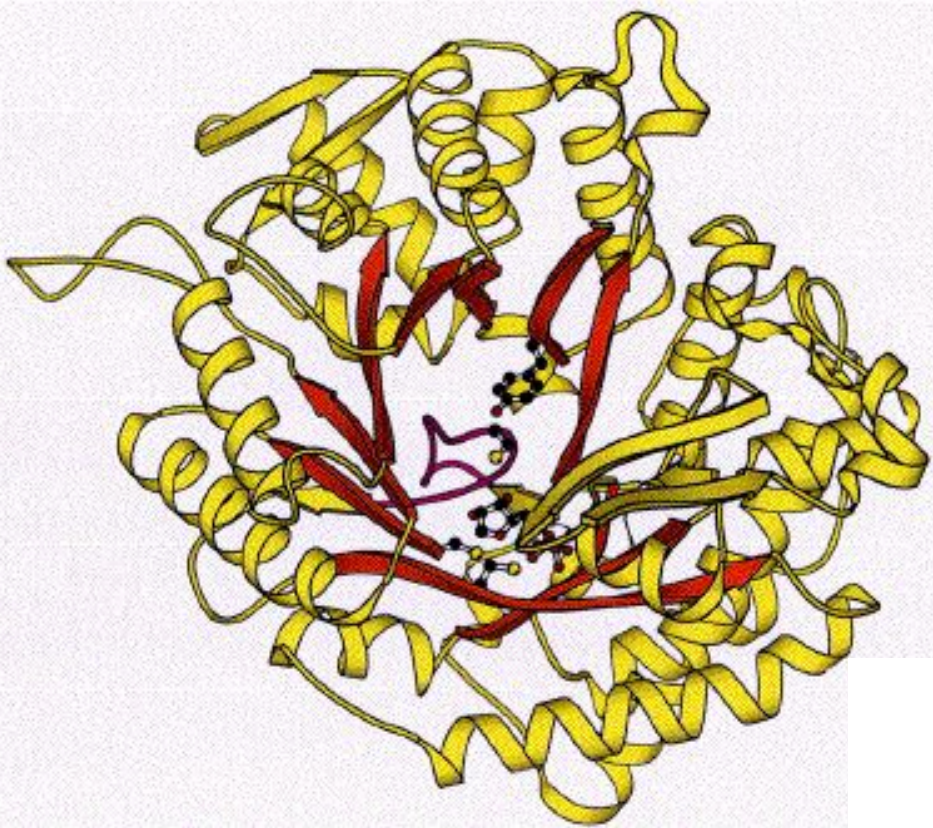




**Table 3. Activity of Mutants on the Putative PCET Pathway in *E. coli* and Mouse R2**

protein	iron/ R2	Y's/R2	SA (nmol/ min mg)	N <sup>•</sup> formation <sup>c</sup> (s <sup>-1</sup> )	Y <sup>•</sup> loss <sup>c</sup> (s <sup>-1</sup> )
<i>E. coli</i> <sup>a</sup>					
wt-R2	2.9	0.8	5000	0.68	0.64
D237E	2.7	1.0	340 (7%)	0.084	0.044
D237N	4.4	0.6 (unstable)	13 (0.3%)		
wt-R1			1650		
Y730F			26 (1.6%)		no loss
Y731F			26 (1.6%)		no loss



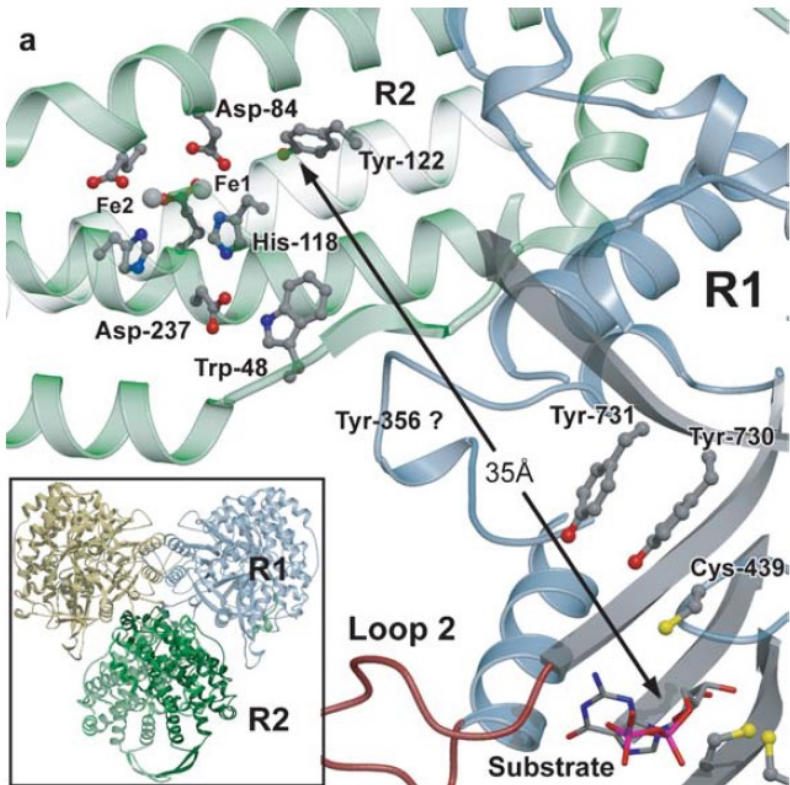




# Etude du transfert de radicaux dans la RNR



J Stubbe (MIT)



**A**

$35 \text{ \AA} \leftrightarrow k_{ET} = 10^{-6} \text{ s}^{-1}$   
(théorie ET)

En réalité  $k_{ET} = 2-10 \text{ s}^{-1}$   
!!!

**B**

Contrainte thermodynamique  
Transfert des électrons  
couplé  
à des transferts de protons

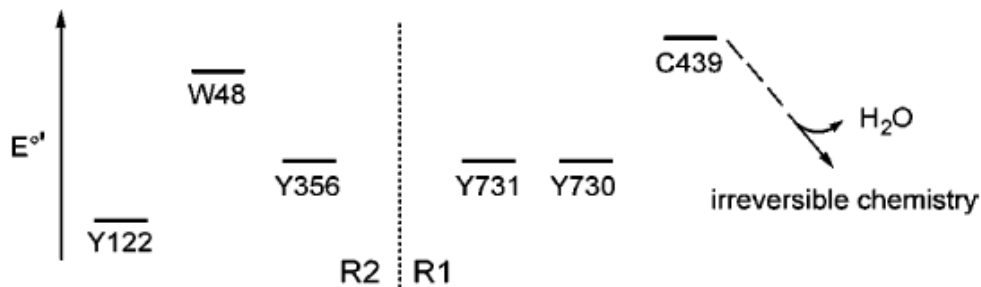
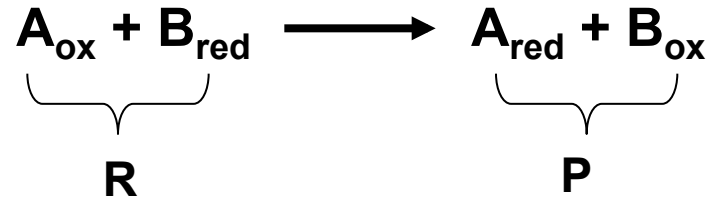


Table 2. Reduction Potential for Blocked Amino Acids

reaction	$E^{\circ'} \text{ (NHE)/V}$
$RS^{\bullet} \rightarrow RSH$	1.33 <sup>a</sup>
$RS^{\bullet} \rightarrow RS^{-}$	0.77 <sup>b</sup>
$WH^{+} \rightarrow WH$	1.15 <sup>c</sup>
$W^{\bullet} \rightarrow WH$	0.9–1.05 <sup>d</sup>
$Y^{\bullet} \rightarrow YOH$	0.83–0.94 <sup>e</sup>
$Y^{\bullet} \rightarrow YO^{-}$	0.65 <sup>f</sup>

# Transfert des électrons: principes

## Théorie de Marcus



$$k_{\text{ET}} = A \exp\left[\frac{-\Delta G^*}{RT}\right]$$

$$\Delta G^* = \frac{(\lambda + \Delta G^\circ)^2}{4\lambda}$$

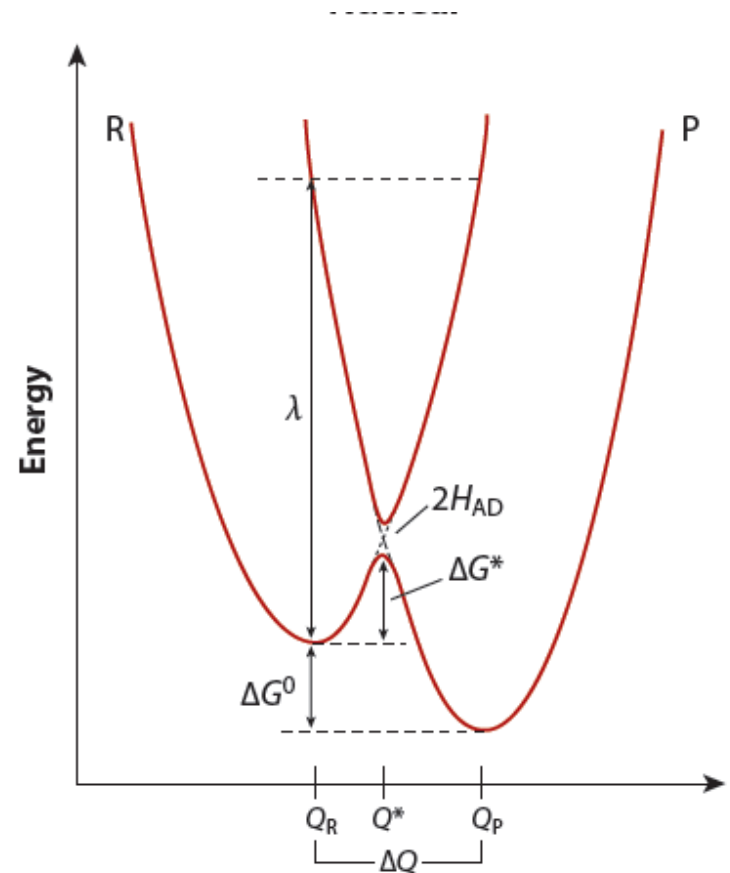
$$k_{\text{ET}} = k_{\text{ET}}(0) \exp\left[\frac{-(\lambda + \Delta G^\circ)^2}{4\lambda RT}\right]$$

$\Delta G^*$  = énergie d'activation

$\Delta G^\circ$  = enthalpie libre de la réaction

$\lambda$  = énergie de réorganisation

**La dépendance vs distance n' est pas traitée dans la théorie de Marcus!!**



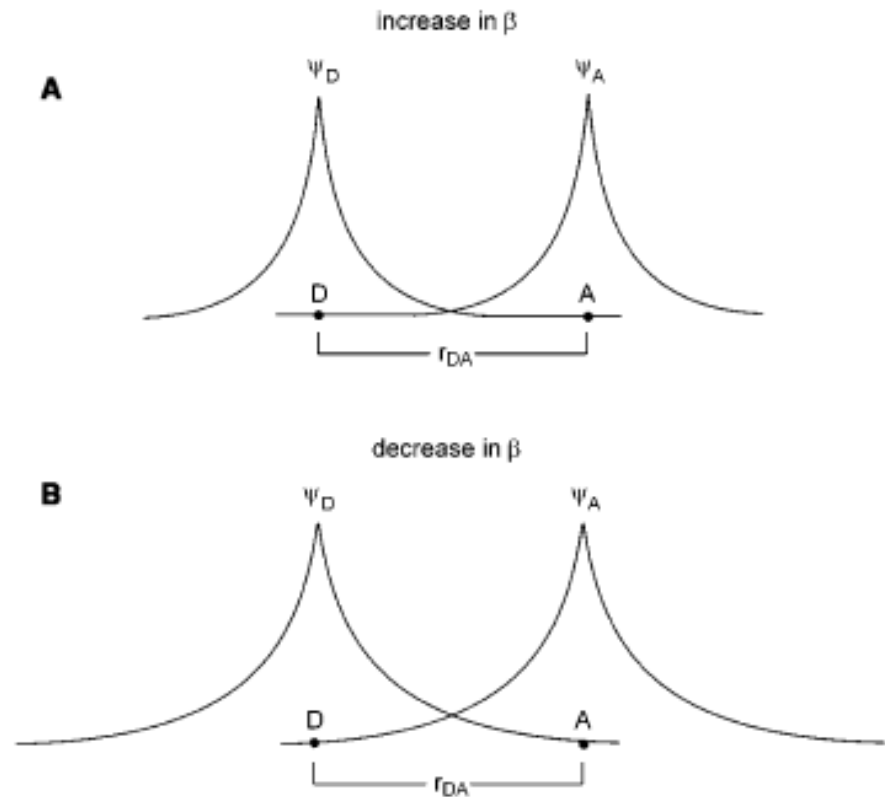
# Transfert des électrons: effet de la distance

$$k_{\text{ET}} = \sqrt{\frac{4\pi^3}{h^2 \lambda k_B T}} H_{\text{AD}}^2 \exp\left[\frac{-(\lambda + \Delta G^\circ)^2}{4\lambda RT}\right]$$

$$H_{\text{AD}} = H_{\text{AD}}^\circ e^{-\beta(r_{\text{DA}} - r_0)}$$

$H_{\text{AD}}$  = couplage des états électroniques du donneur et de l'accepteur

$\beta$  = contribution du milieu dans la propagation des fonctions d'onde



L'efficacité d'un électron de passer de D à A dépend du recouvrement des fonctions d'onde

# Transfert des électrons: méthodes

➤ Complexes protéine-protéine

➤ Marquage rédox de métalloprotéines

Ex: cytochromes, protéines à Cu,.

➤ Systèmes naturels (modifiés)

Photosystèmes (non oxygéniques) bactériens

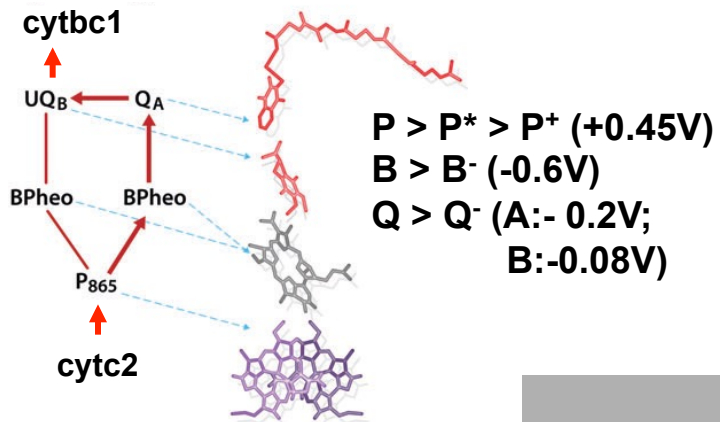
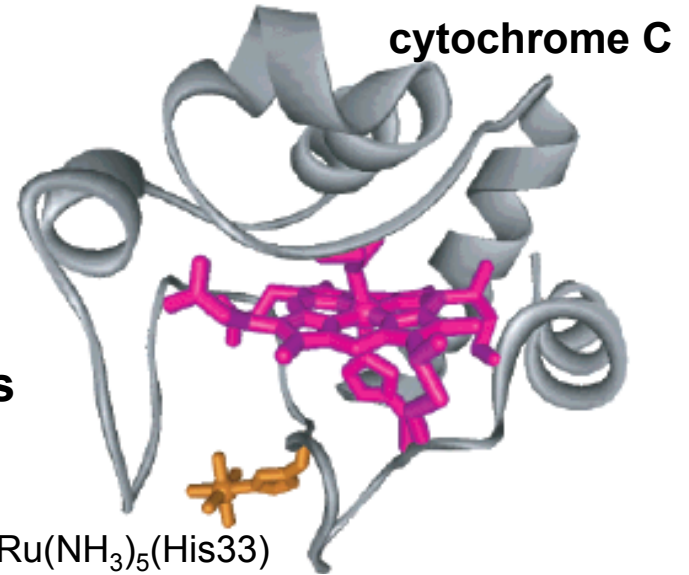
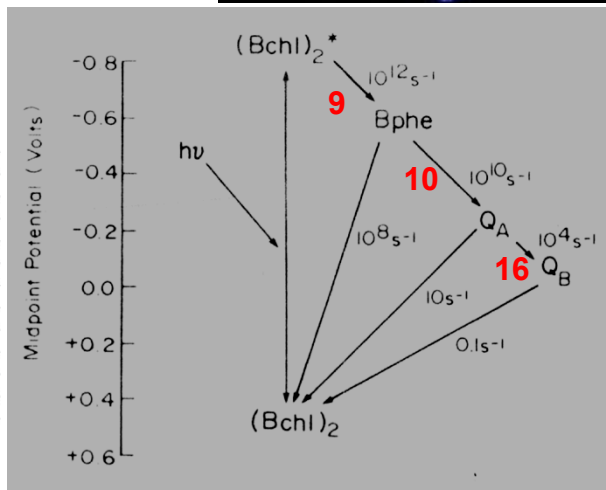
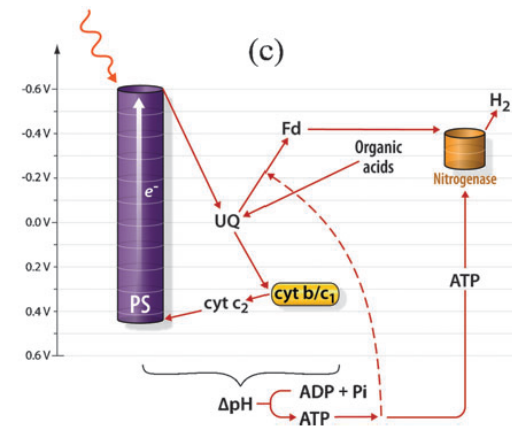


Table 1. Reorganization Energy of Different Classes of Enzymes and Proteins

protein/enzyme	$\lambda/mV$	ref
cytochrome <i>c</i>	700	326
Ru(LL) <sub>2</sub> (im)(His33)-cytochrome <i>c</i> (LL = polypyridine ligands)	740	67, 327
blue copper proteins		
Ru(bpy) <sub>2</sub> (im)(His83)-azurin	700	328, 329
Ru(trpy)(LL)(His59)-plastocyanin	640-700	330
HiPIPs		
Ru(LL) <sub>2</sub> (im)(HisX)-HiPIP	600-800	331
bacterial reaction center	700	99
cytochrome <i>c</i> /cytochrome <i>b</i> <sub>5</sub>	700	332

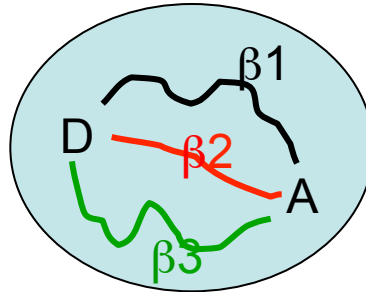


➡  $\lambda = 0.7 \text{ eV} (16 \text{ kcal.mol}^{-1})$

➡ Transferts sur de longues distances

# Transfert des électrons: modèles

➤ **Modèle « tunneling pathways »**: pas de valeur uniforme de  $\beta$ ; il existe des chemins préférentiels (liaisons covalentes, liaisons H, contacts à travers l'espace,...)



➤ **Modèle « uniform barrier »**: il y a une valeur uniforme de  $\beta$ ; La protéine est un milieu conducteur particulier et homogène (Dutton  $\beta = 1.4 \text{ \AA}^{-1}$ )

$\beta = 1.2 \pm 0.2 \text{ \AA}^{-1}$  → « Les deux théories convergent »  
 $\Delta k = 10^3 - 10^4$

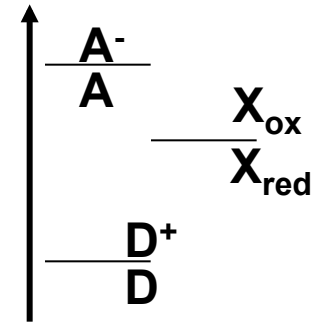
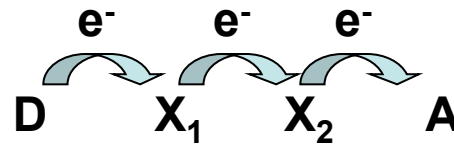
**Vide: 3.4**

**D-A covalent: 0.7**

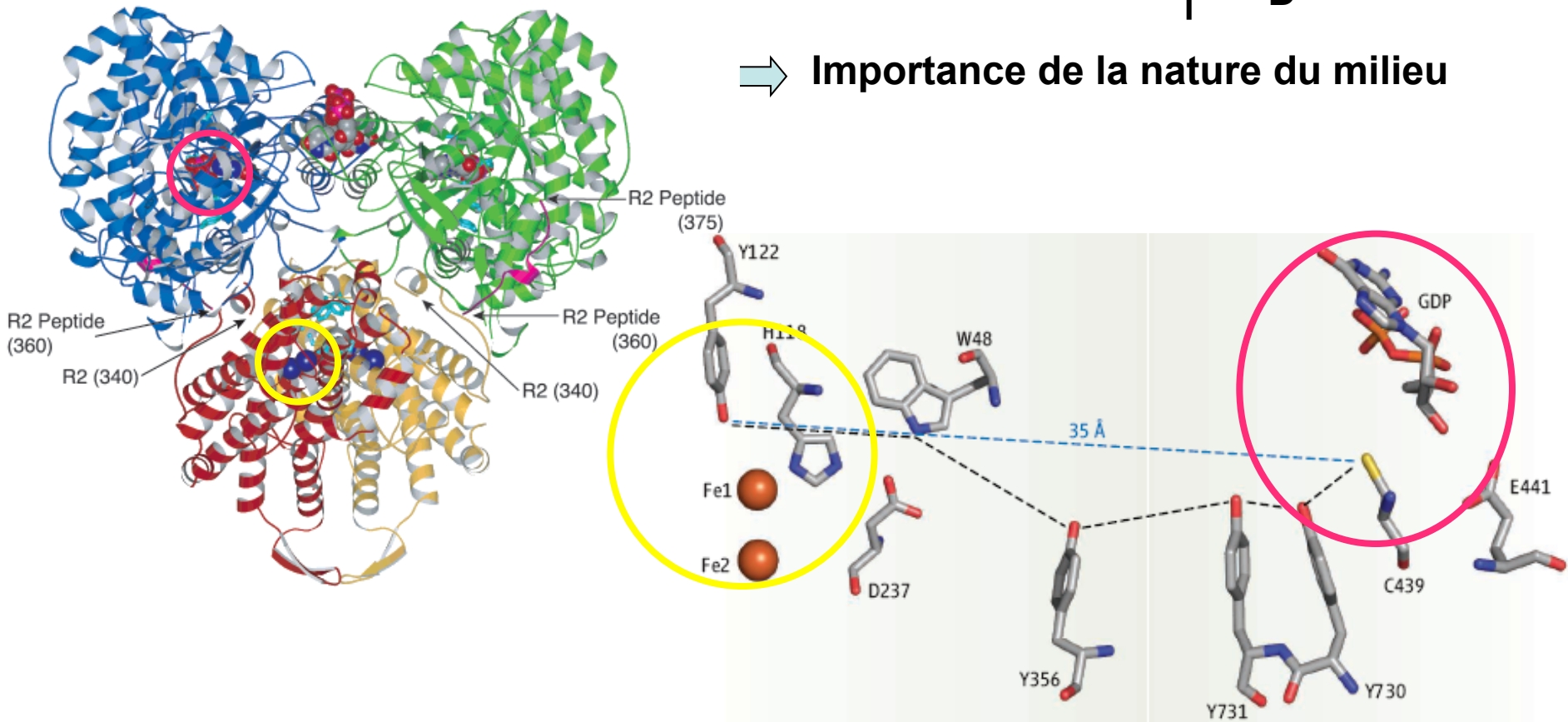
**Verre organique (THF): 1.2**

# Au-delà de 25 Å ? : cofacteurs intermédiaires « multistep tunneling »

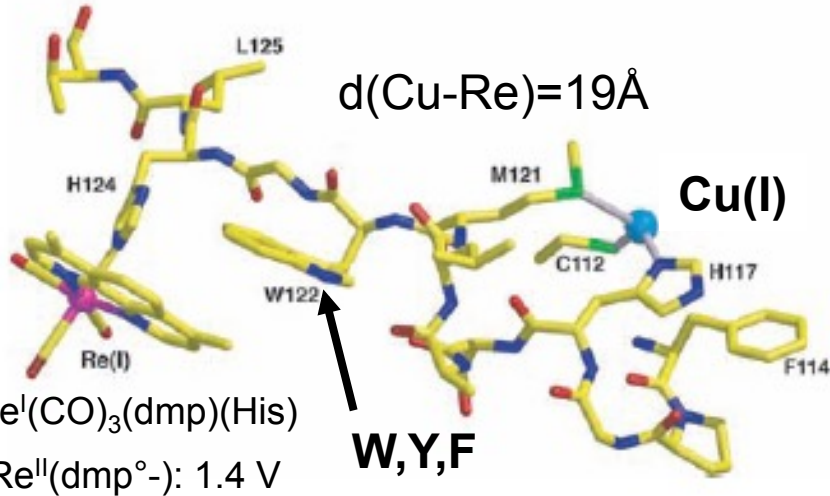
Cofacteurs rédox: ions métalliques, quinones, ...,  
**chaines latérales d' AA**



⇒ Importance de la nature du milieu

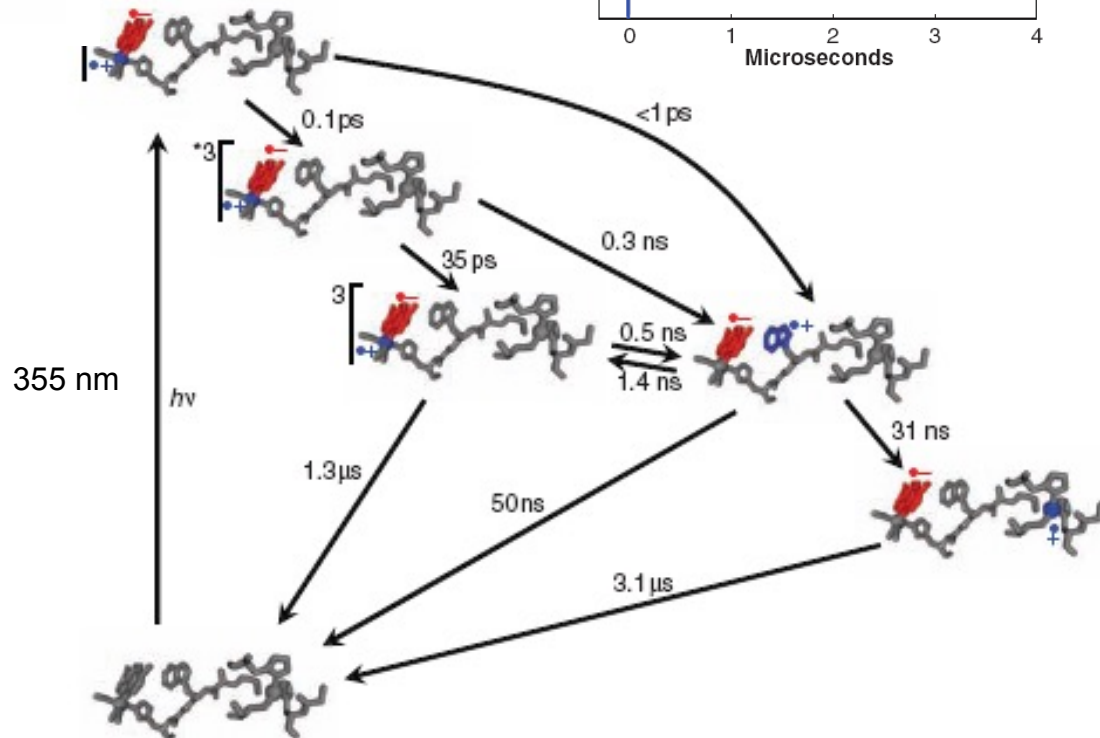
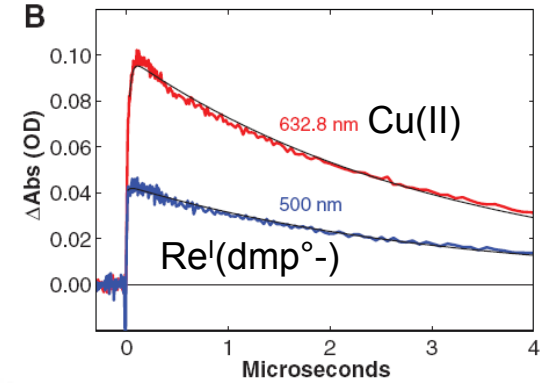
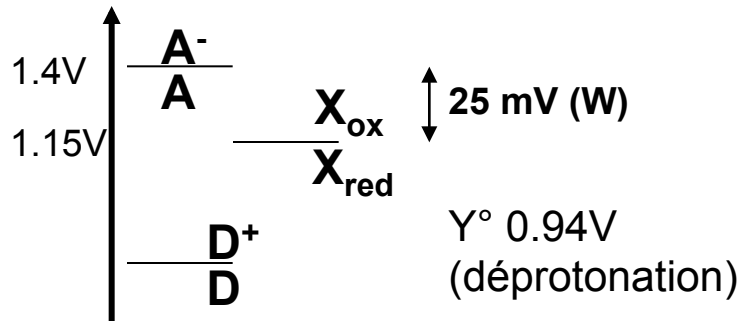


**Modèle: Re-azurin(Cu)**

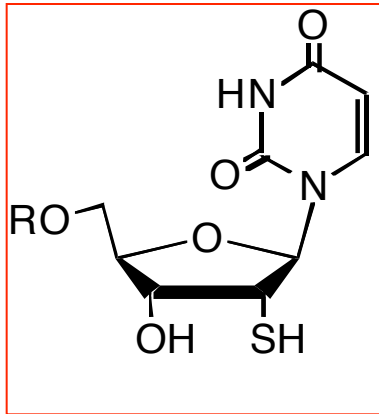


**Formation de Cu(II) uniquement avec W!**

« Cu oxidation is more than two orders of magnitude faster than expected for electron tunneling over 19 Å ».



## Transfert de radical de R2 à R1: Analogues de substrat

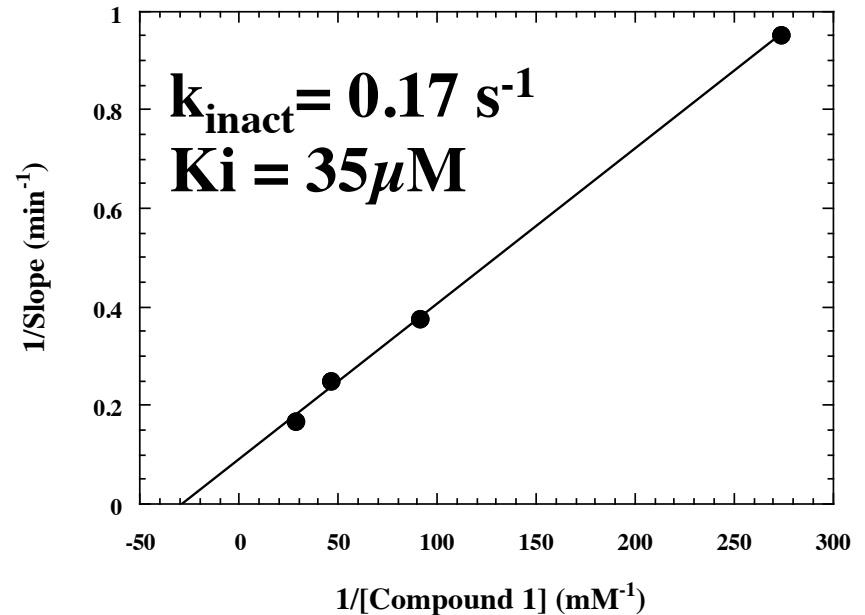
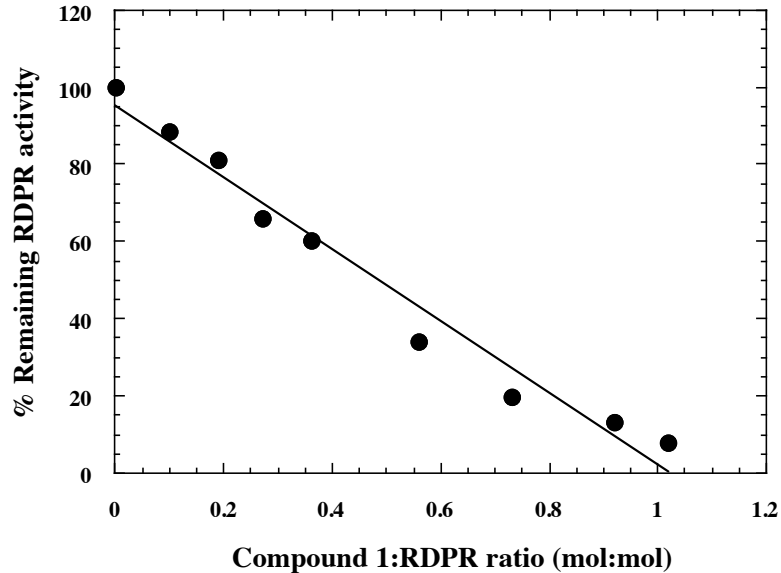


Inactivation of *Escherichia coli* ribonucleotide reductase by 2'-deoxy -2'-mercaptouridine 5'diphosphate - Electron paramagnetic resonance evidence for a transient protein perthiyl radical.

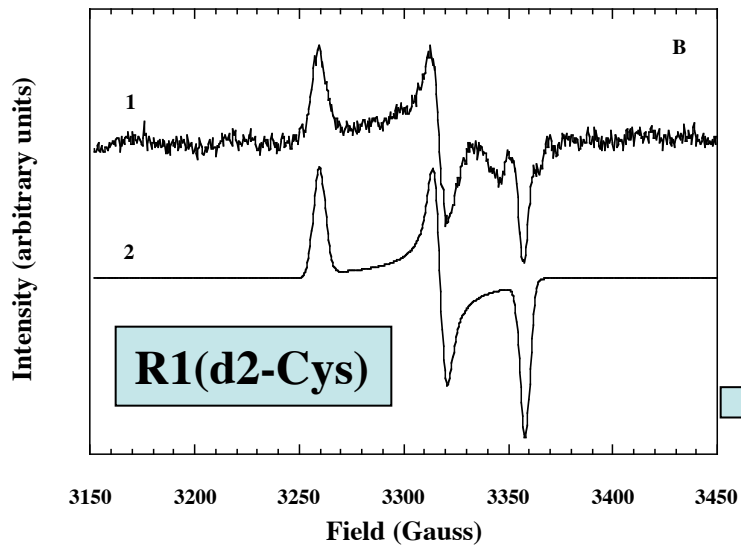
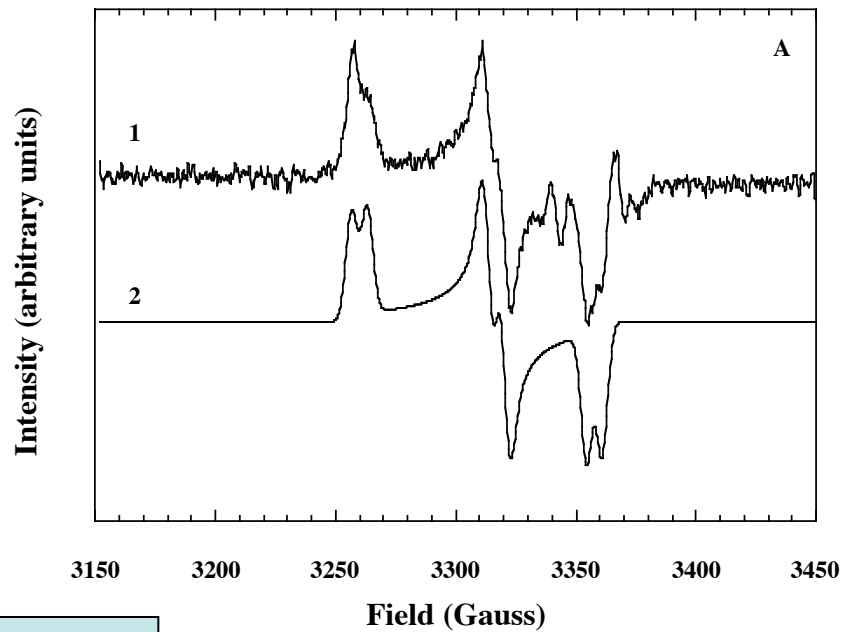
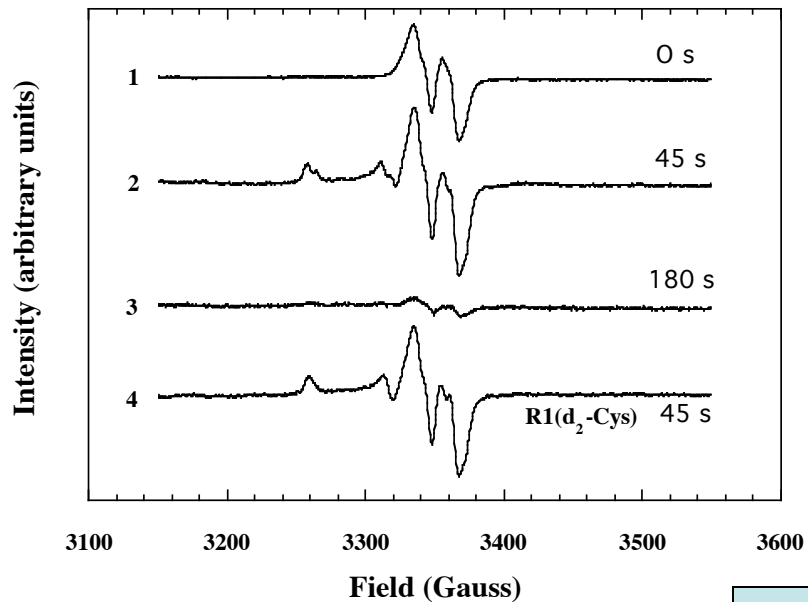
J. Covès, L. Le Hir de Fallois, J.L. Decout, L. Lepape, M. Fontecave.  
*Biochemistry*, 1996 35, 8595-8602

Synthesis of 2'Deoxy-2'-mercaptouridine and cytidine derivatives as potential inhibitors of ribonucleotide diphosphate reductase : Thionitrites, disulfides and 2'-Deoxy-2'-mercaptouridine 5'-Diphosphate.

L. Le Hir de Fallois, J.L. Décout, M. Fontecave  
*J.Chem.Soc., Perkin Trans.*, 1997, 2587-2595

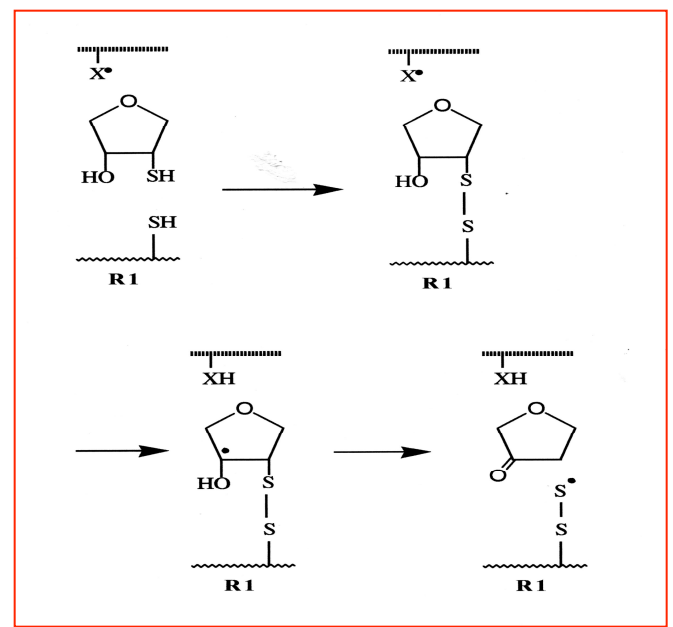






$g_x = 2.06$   
 $g_y = 2.026$   
 $g_z = 2.0019$   
 $g_{av} = 2.03$   
 $a \text{ (mT)} = 0.65$

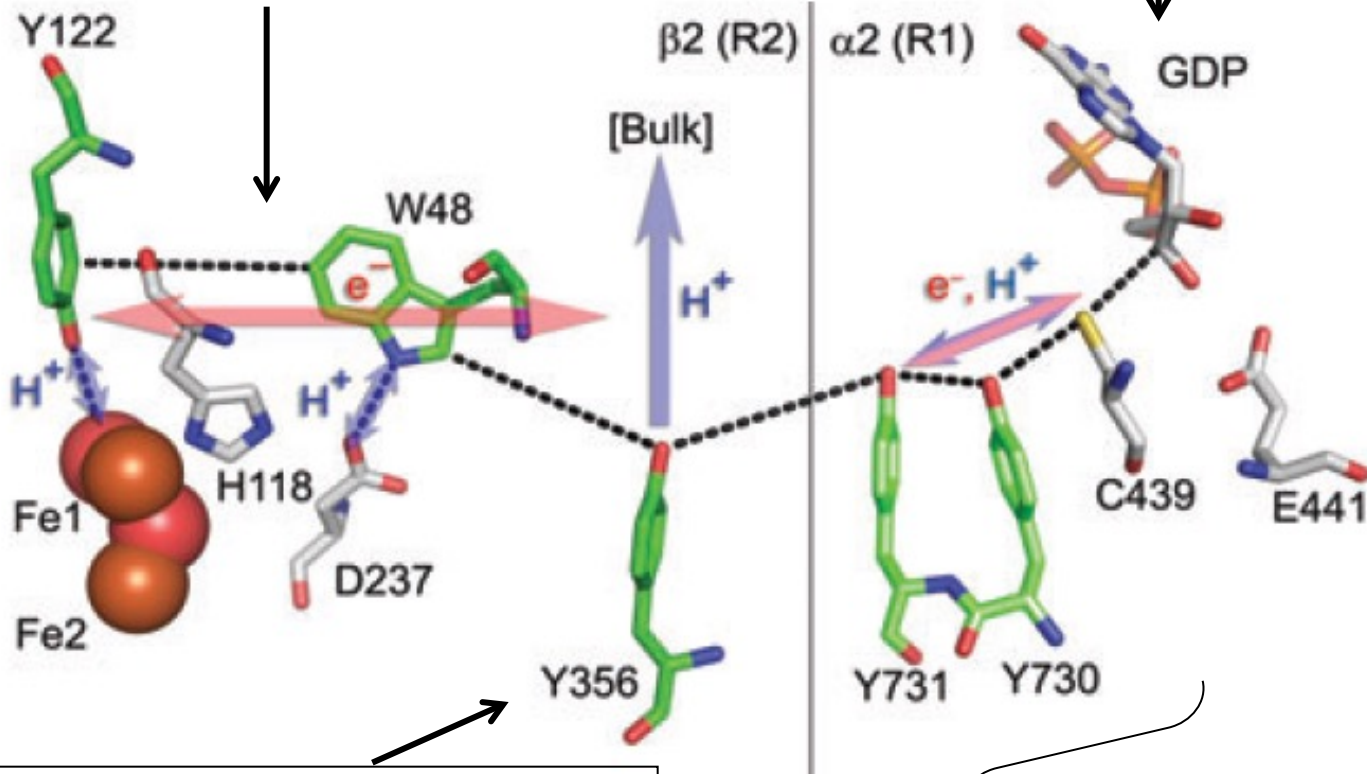
Radical  
Persulfure  
RSS<sup>•</sup>  
sur R1



# CONCLUSION

Transfert d'électron  
de  $W_{48}$  à  $Y_{122}^{\circ}$   
 $H_2O$  fournit un  $H^+$  à  $Y^-$   
 $D_{237}$  sert à baisser le E de W  
« orthogonal »

Formation de  $Cys^{\circ}$  endergonique  
couplée  
à une réaction exergonique (substrat)



Transfert d'électron  
de  $Y_{356}$  à  $W_{48}$   
Assisté par un transfert de  $H^+$   
dans le milieu « orthogonal »

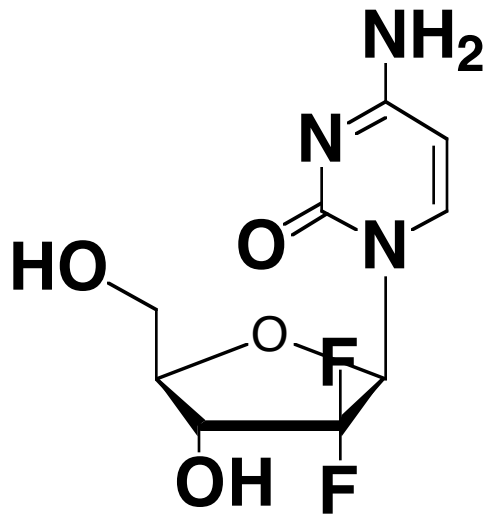
Abstraction d'atome H  
ou transfert  $e^-/H^+$  « colinéaire »

## Deux agents anticancéreux Inhibiteurs de ribonucléotide réductase

### Gemcitabine (Eli-Lilly)

**Clinical use against:**

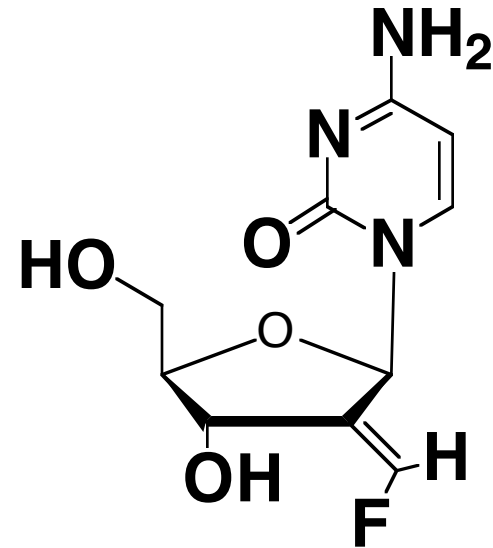
- solid tumors
- lung cancer (Pt)
- pancreas cancer



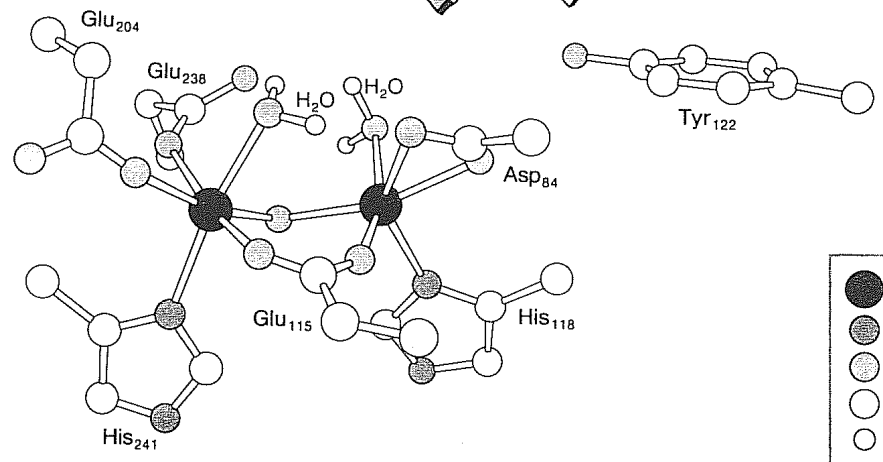
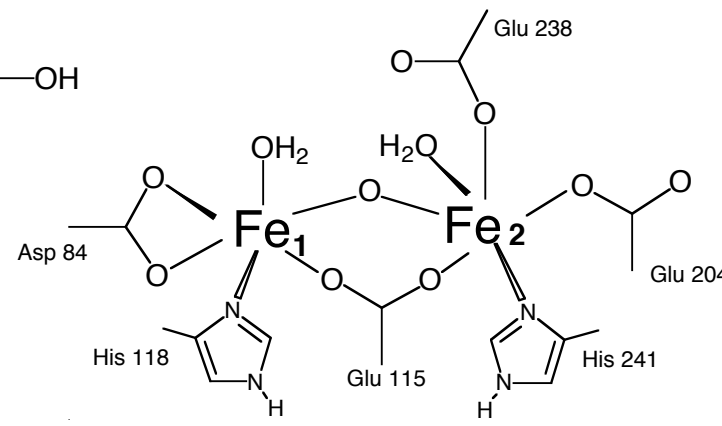
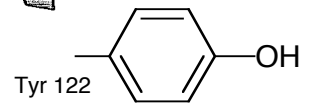
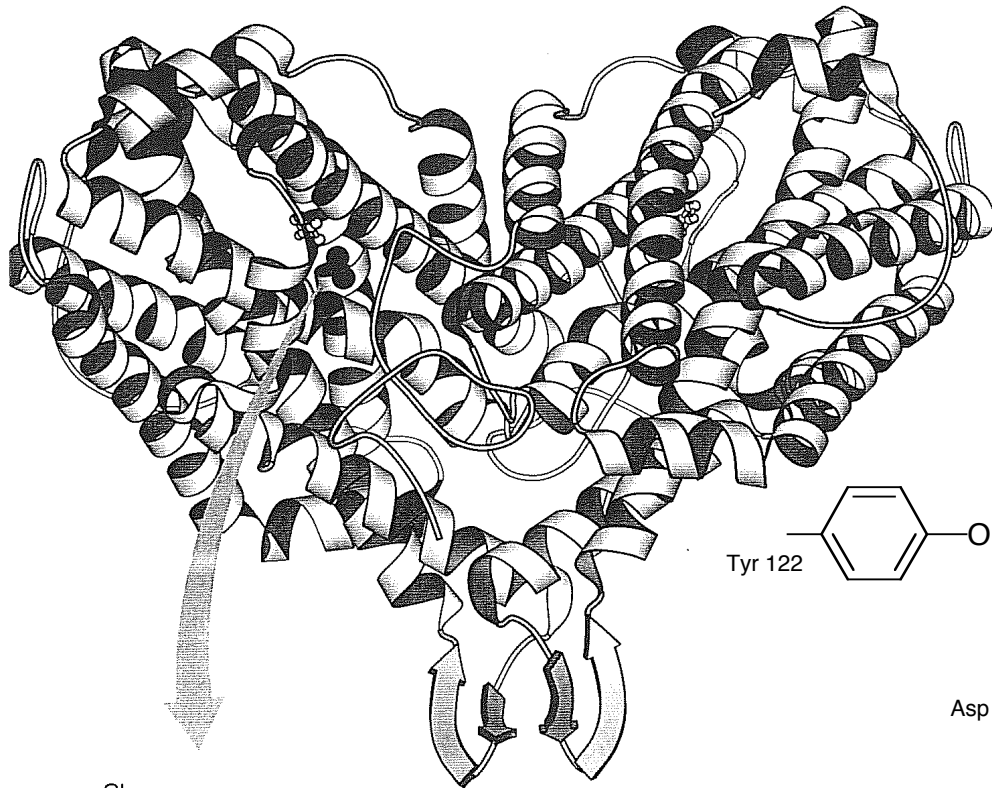
### Tézacitabine (HMR)

**Clinical trial against:**

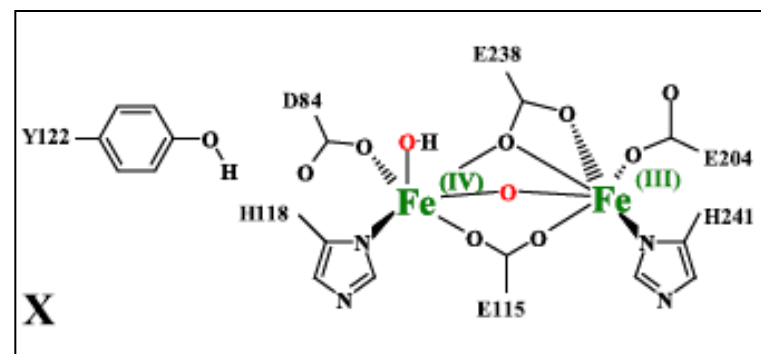
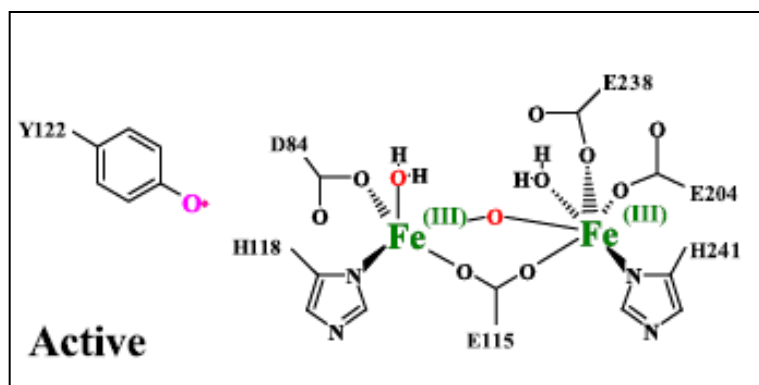
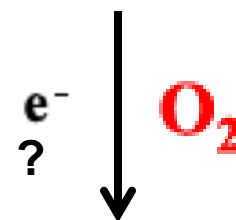
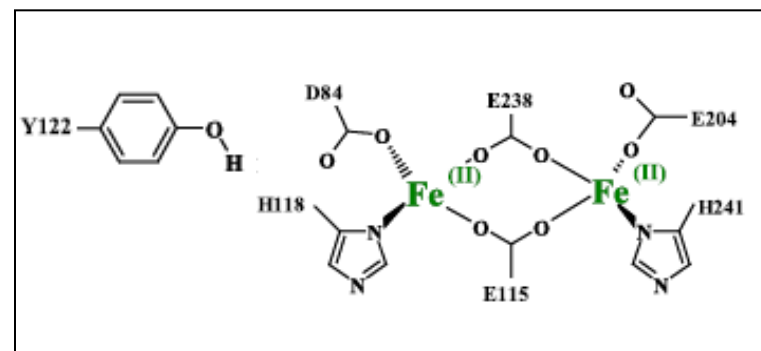
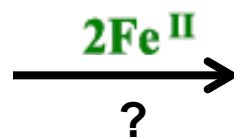
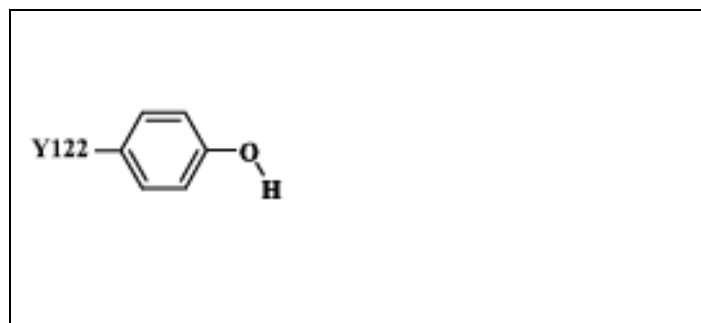
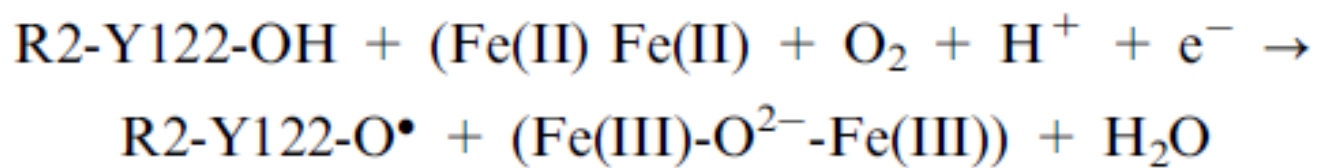
- solid tumors
- breast cancer



Formation du radical ?



- Iron
- Nitrogen
- Oxygen
- Carbon
- Hydrogen





**Sandrine  
Ollagnier-de-Choudens**



**Peter  
Reichard  
(Stockholm)**



**Etienne  
Mulliez**

Comment les désoxyribonucléotides sont-ils biosynthétisés chez les organismes anaérobies ? (1986)

# 1987: comment *E. coli* en anaérobiose synthétise les désoxyribonucleotides ?

Oxygen-sensitive ribonucleoside triphosphate reductase in anaerobic *E. coli*  
M. Fontecave, R. Eliasson, P. Reichard

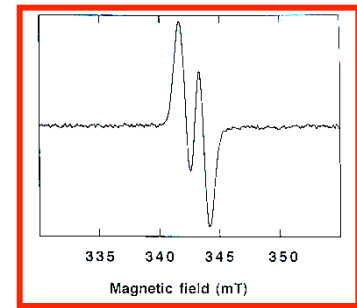
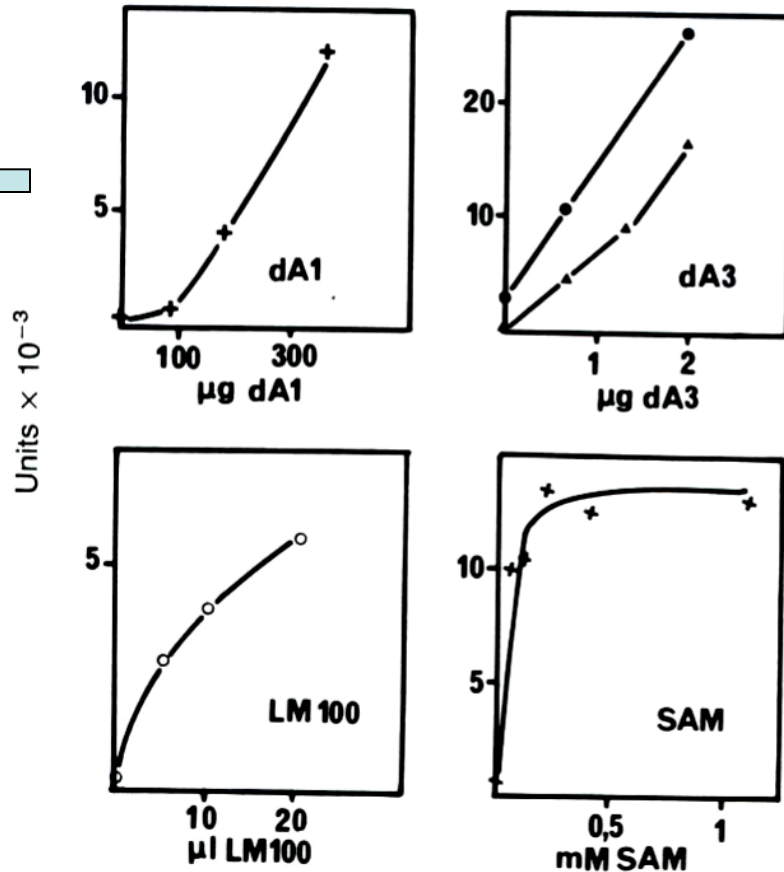
*Proc. Natl. Acad. Sci. USA* 1989, 86, 2147-2151

Condition	Total cpm $\times 10^{-6}$		DNA/ RNA	cpm/pmol		dCTP/ CTP
	DNA	RNA		CTP	dCTP	
<b>Aerobic</b>						
15 min	7.5	110	0.07	175	320	1.8
30 min	19.5	250	0.08	227	360	1.6
<b>Anaerobic</b>						
15 min	8.3	92	0.09	138	260	1.9
30 min	16	170	0.09	131	210	1.6

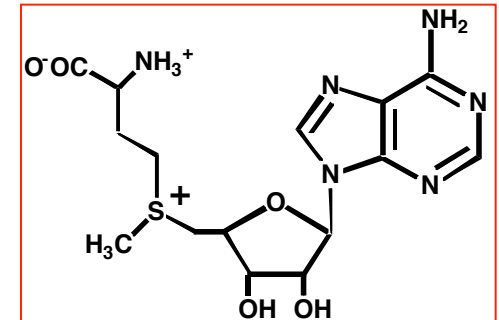
Two 15-ml cultures of *E. coli* Sö1452 in Luria broth with 0.1% glucose were grown in parallel and vigorously gassed at 37°C with either 96% N<sub>2</sub>/4% CO<sub>2</sub> or 95% air/5% CO<sub>2</sub>. When the cultures had reached an OD of 0.22 (640 nM), [<sup>3</sup>H]cytidine (5000 cpm/pmol) was added to a final concentration of 6 μM. Five-milliliter portions were removed from each culture after 15 min (OD = 0.36) and 30 min (OD = 0.53) and centrifuged, and the pellet was used to measure incorporation of radioactivity into RNA and DNA as well as for the determination of the specific radioactivities of the CTP and dCTP pools by earlier described methods (22).

# 1989-1995: fractionnement et identification

Flavodoxine  
réductase



La RNR  
-radical organique



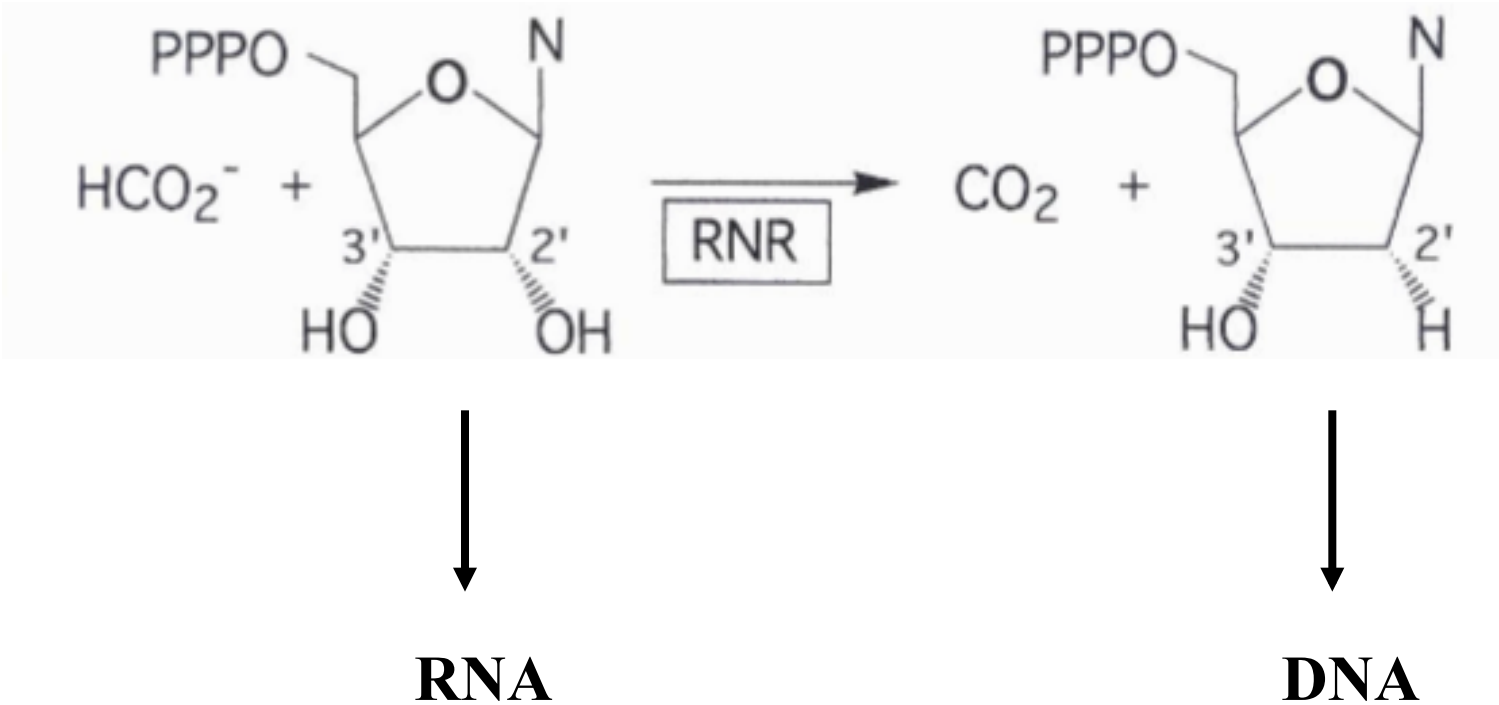
The anaerobic ribonucleoside triphosphate reductase from *Escherichia Coli* requires **S-adenosylmethionine** as a cofactor  
R. Eliasson, M. Fontecave, H. Jornvall, M. Krook, E. Pontis, P. Reichard  
*Proc. Natl. Acad. Sci. USA* 1990, 87, 3314-3318

An iron-sulfur center and **a free radical** in the active anaerobic ribonucleotide reductase of *Escherichia coli*  
E. Mulliez, M. Fontecave, J. Gaillard, P. Reichard  
*J. Biol. Chem.* 1993, 268, 2296-2299





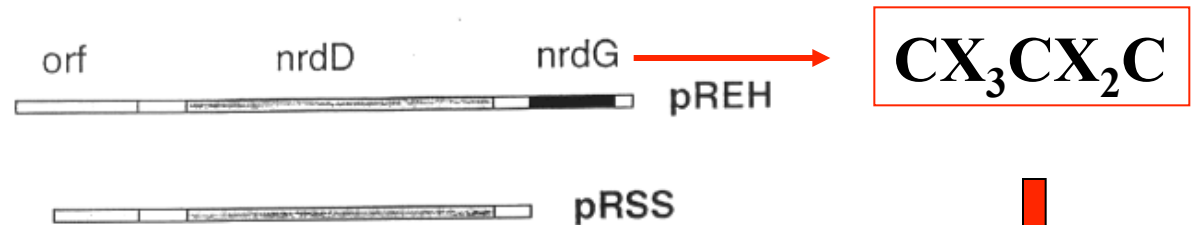
# La ribonucléotide réductase anaérobie



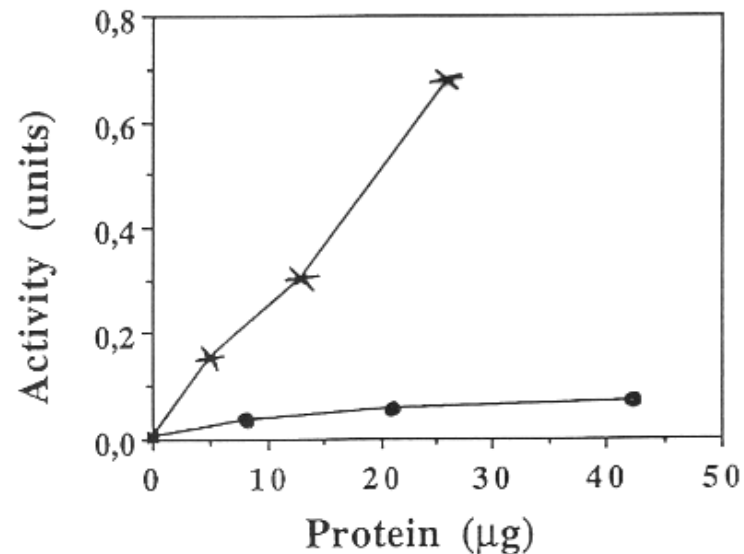
**1995: La ribonucléotide réductase  
est un complexe à deux composants !!**



# 1995: La ribonucléotide réductase (nrdD) est active en présence d'un «contaminant»: l'activase (nrdG)

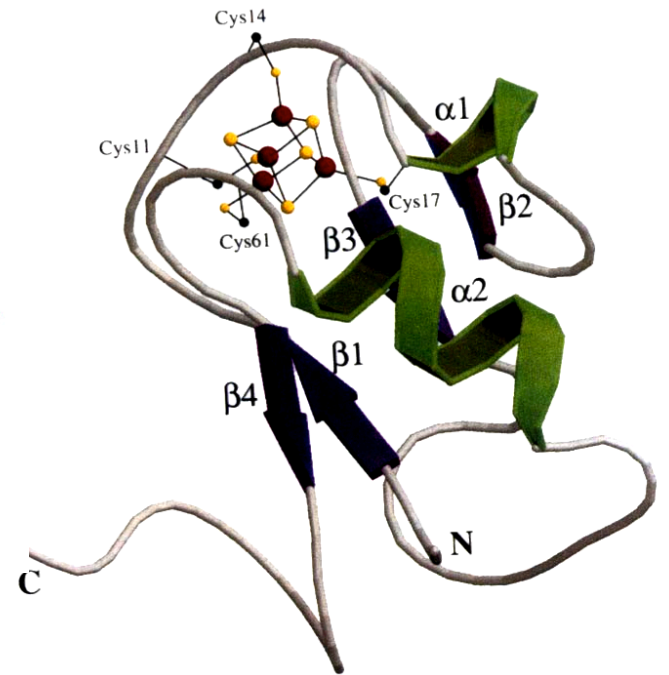
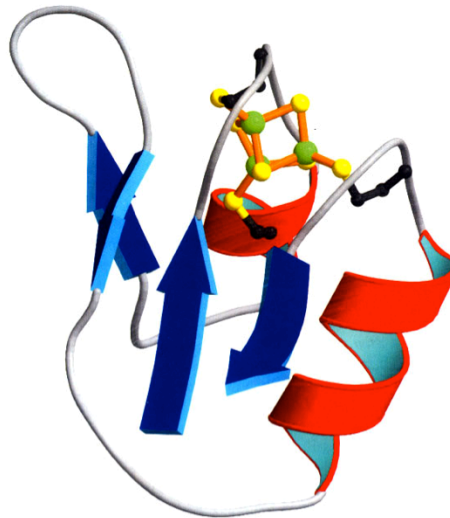
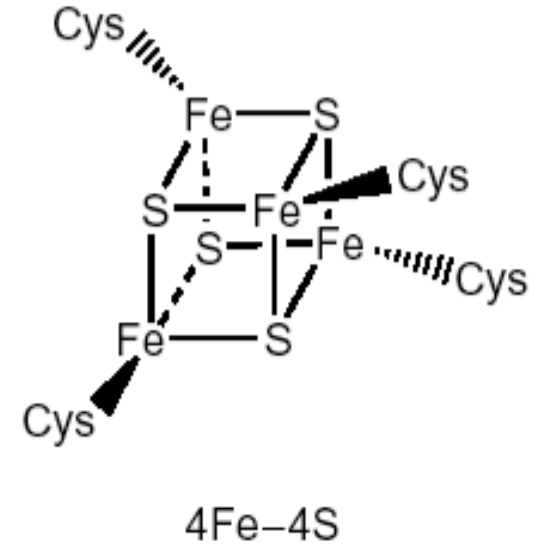
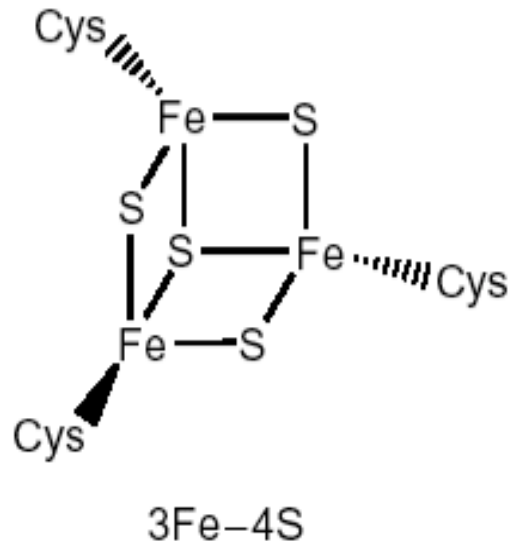
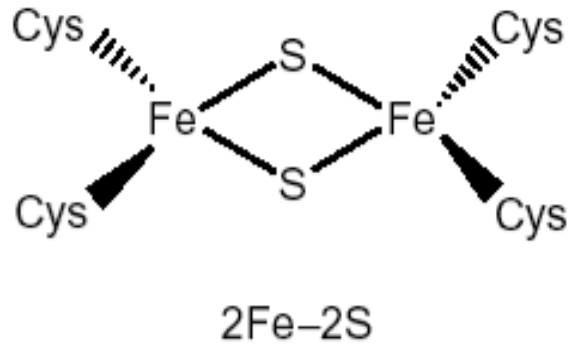


Activation of reductase prepared from E. coli carrying plasmid pRSS with extracts from bacteria carrying pRSS (●) or pREH (X).

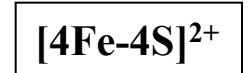
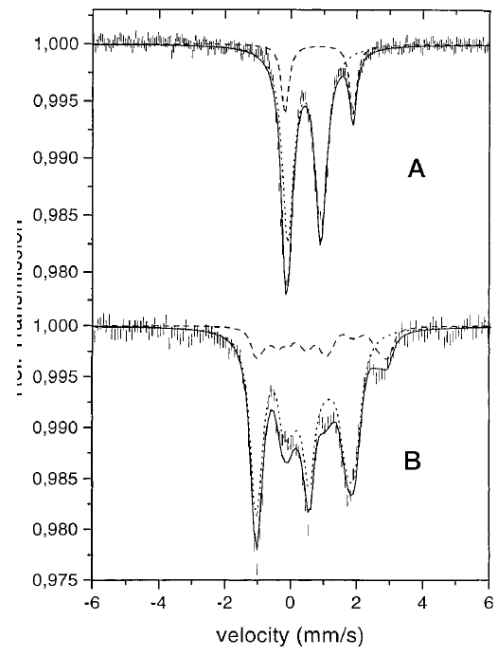
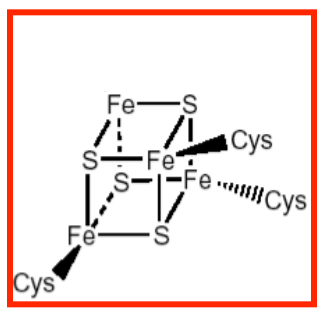
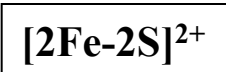
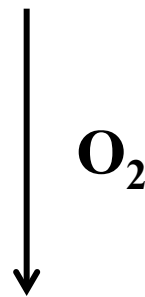
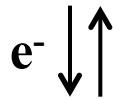
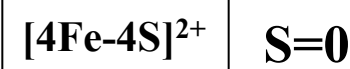


**nrdG est une protéine fer-soufre (1996-1999)**

# Centres fer-soufre

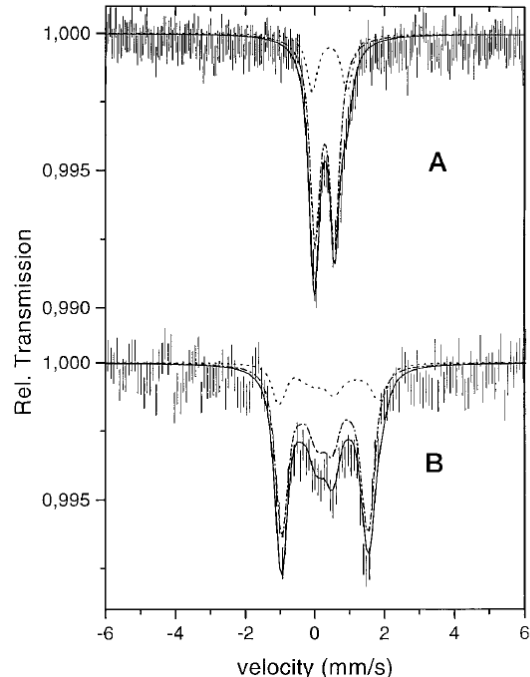
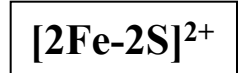
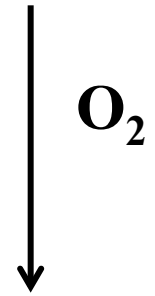


**Activase  
nrdG  
2x17.5 kDa**



A. 77K, 20 mT

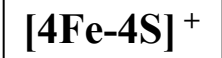
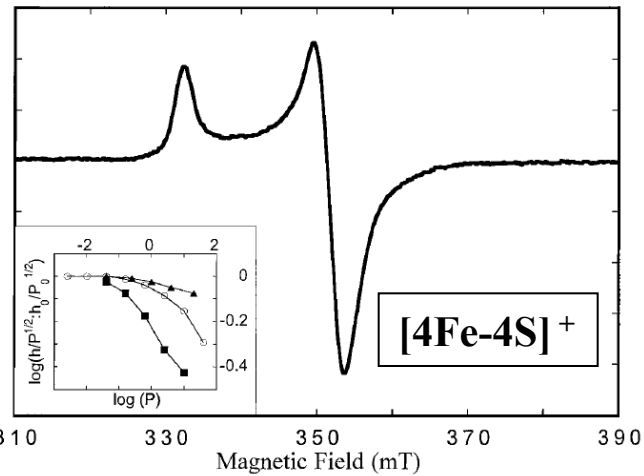
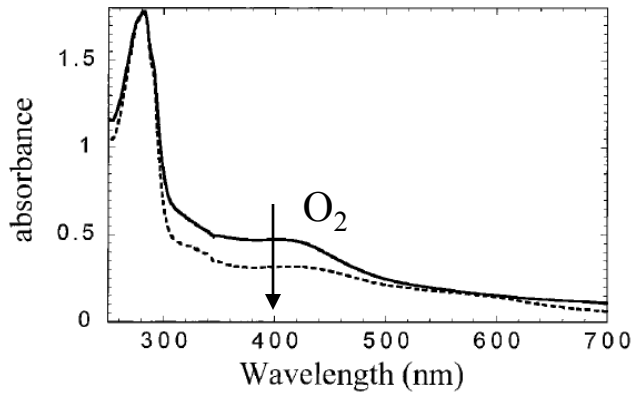
B. 4.2K, 7T



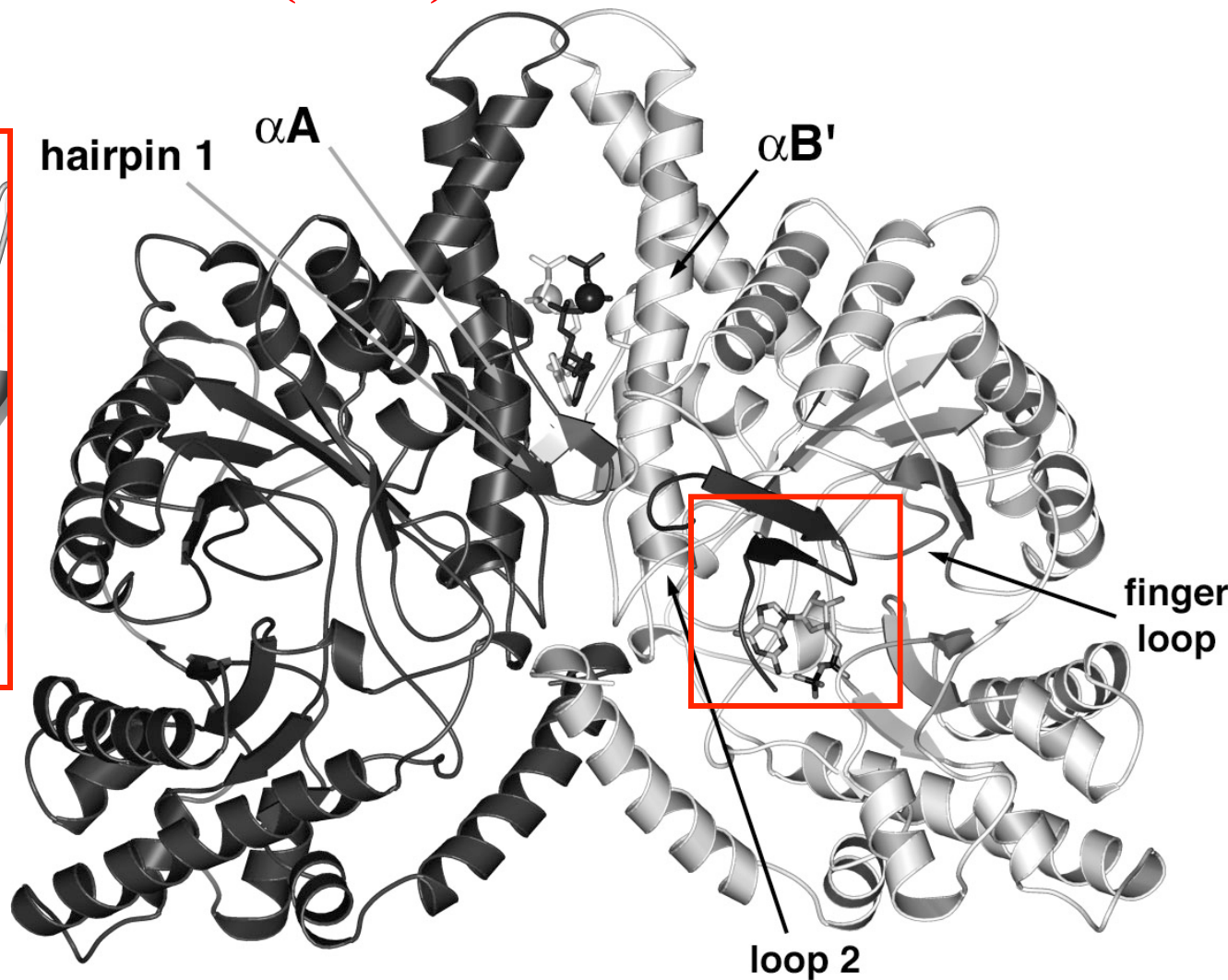
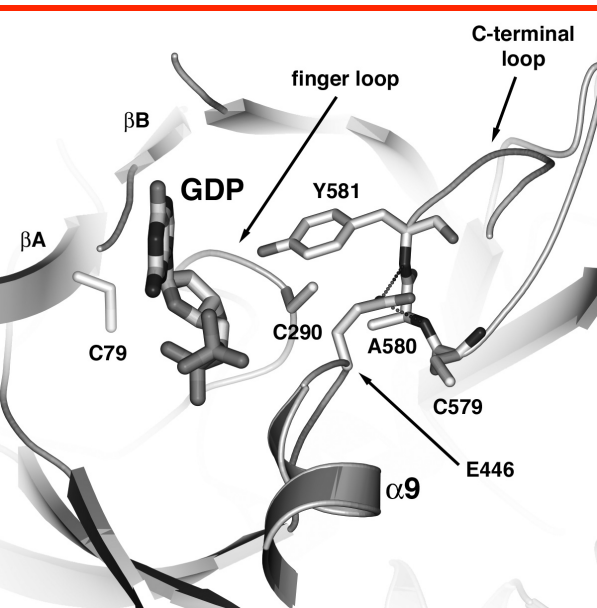
A. 77K, 20 mT

B. 4.2K, 7T

J. Tamarit, M. Fontecave et al  
*J. Biol. Chem* 1999 274 31291



# 1999: structure tridimensionnelle de la ribonucléotide réductase $\alpha 2$ (nrD)



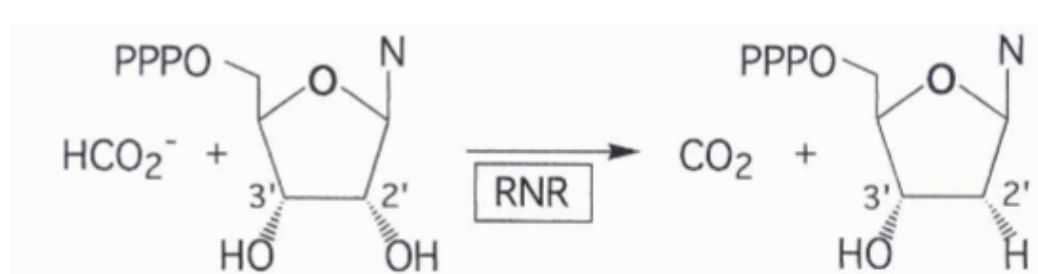
Logan, D.T., Andersson, J., Sjöberg, B.-M., and Nordlund, P. (1999). A glycy radical site in the crystal structure of a class III ribonucleotide reductase. *Science* 283, 1499–1504.

# La ribonucléotide réductase: Une enzyme radicalaire

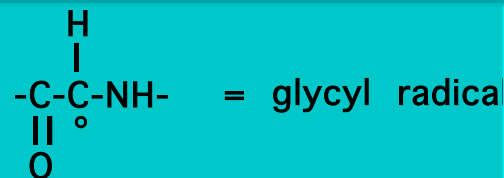
M. Fontecave, E. Mulliez, D. Logan

*Progress in Nucleic Acid Research and Molecular Biology* 2002, 72, 95-127

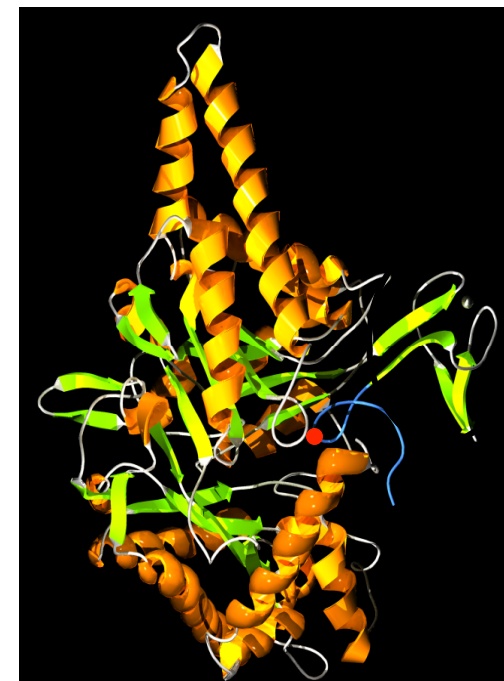
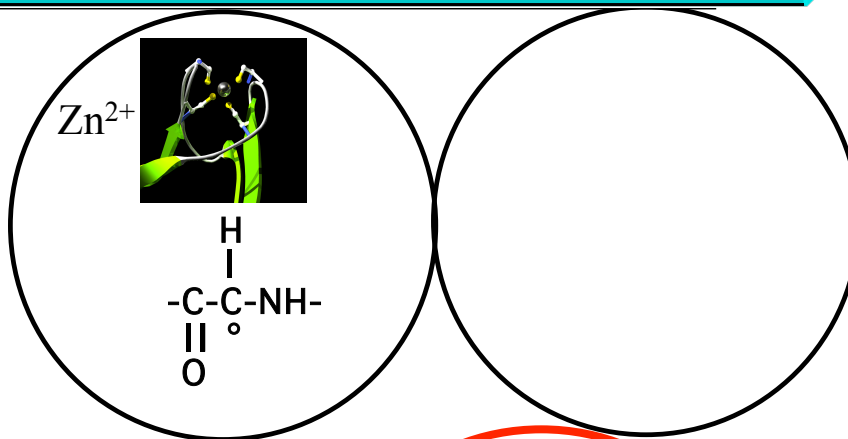
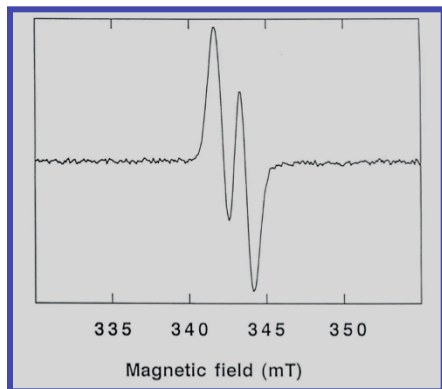
*Proc. Natl Acad. Sci.* 2003, 100, 3826-3831



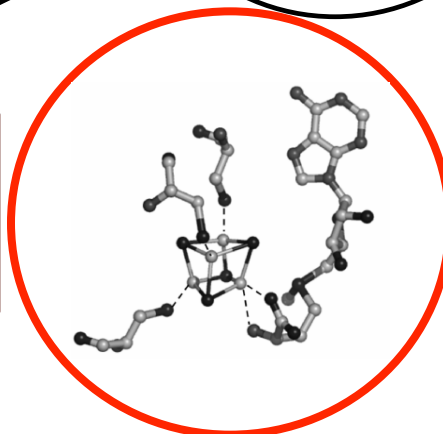
Réductase  
nrdD  
2x80kDa



Protéine  $\alpha$



Activase  
nrdG  
2x17.5 kDa



protéine  $\beta$



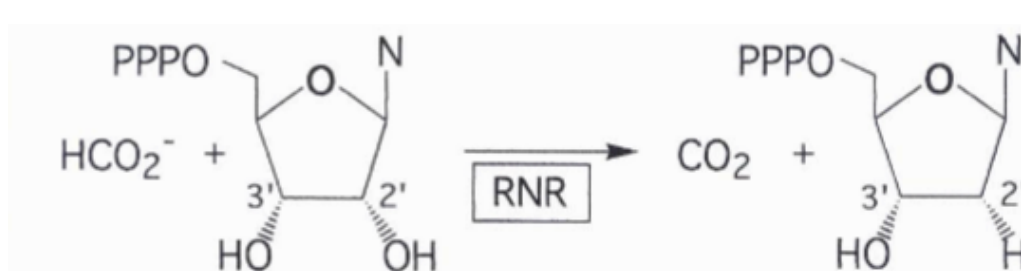


# La ribonucléotide réductase: Une enzyme radicalaire

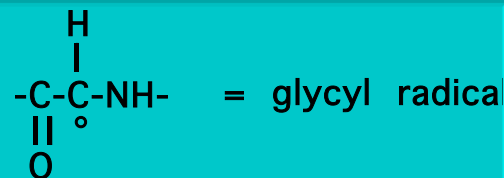
M. Fontecave, E. Mulliez, D. Logan

*Progress in Nucleic Acid Research and Molecular Biology* 2002, 72, 95-127

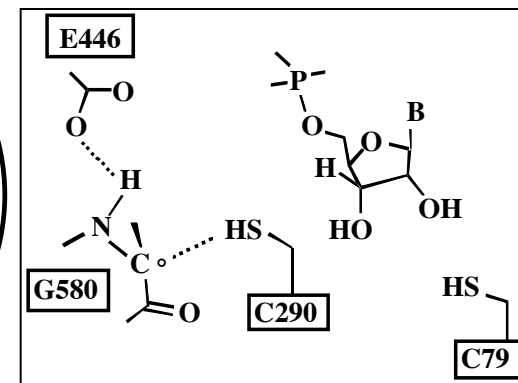
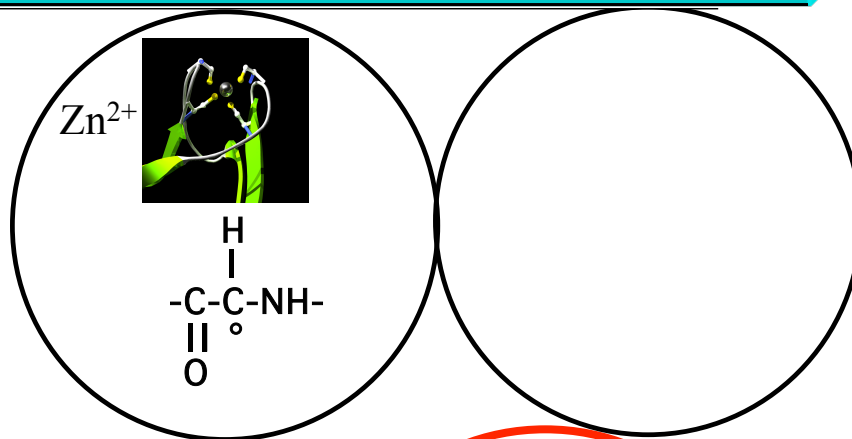
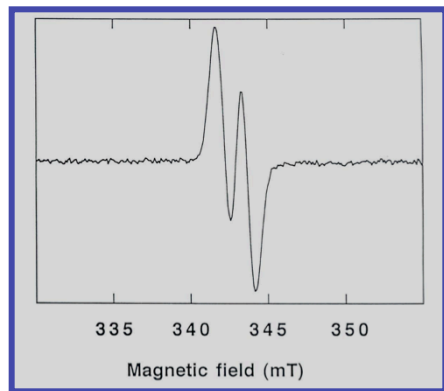
*Proc. Natl Acad. Sci.* 2003, 100, 3826-3831



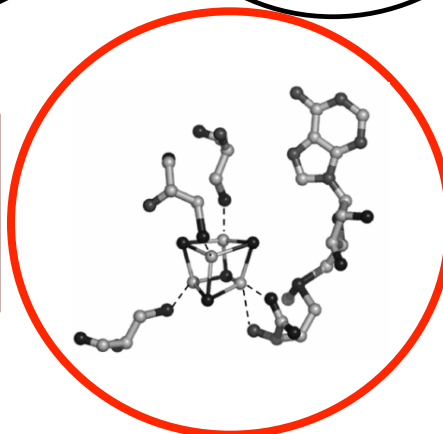
Réductase  
nrdD  
2x80kDa



Protéine  $\alpha$

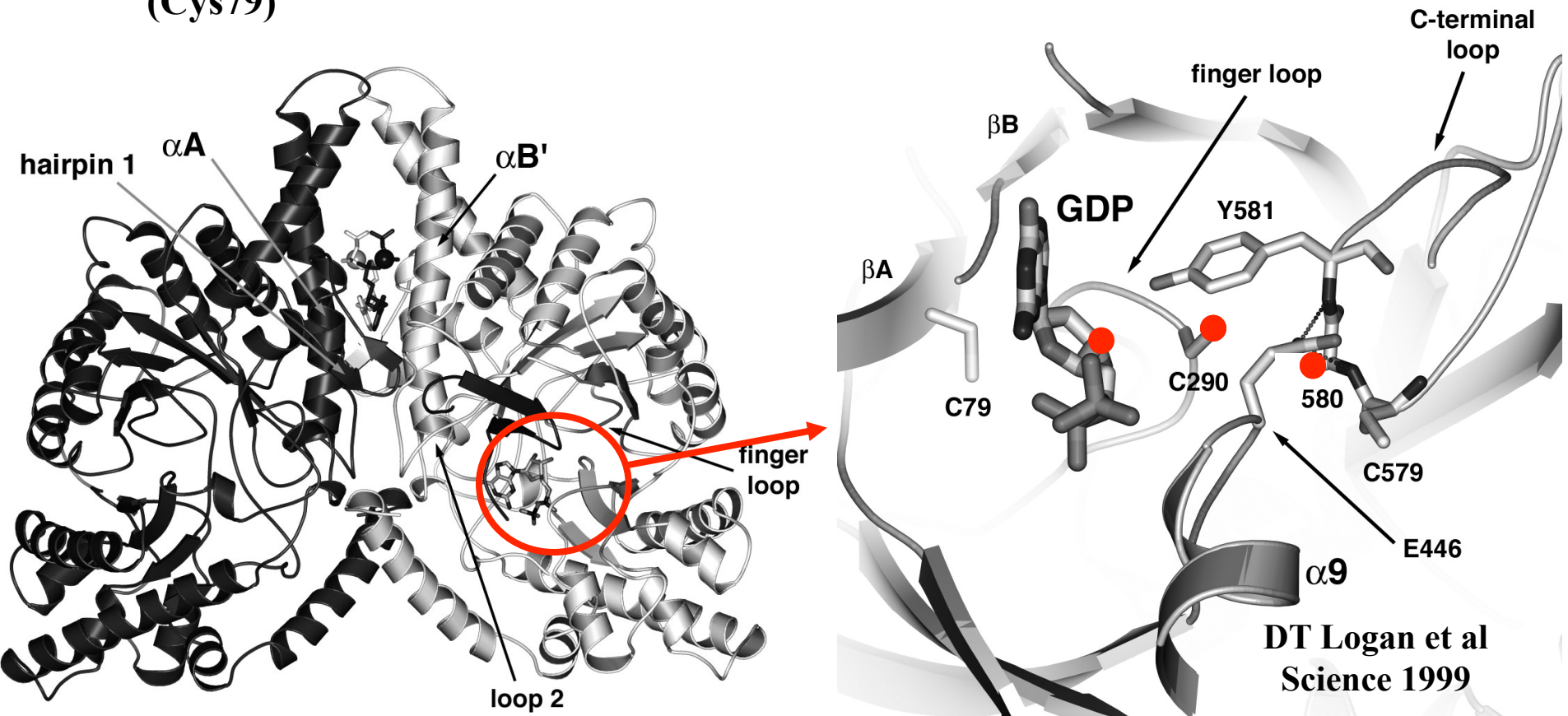
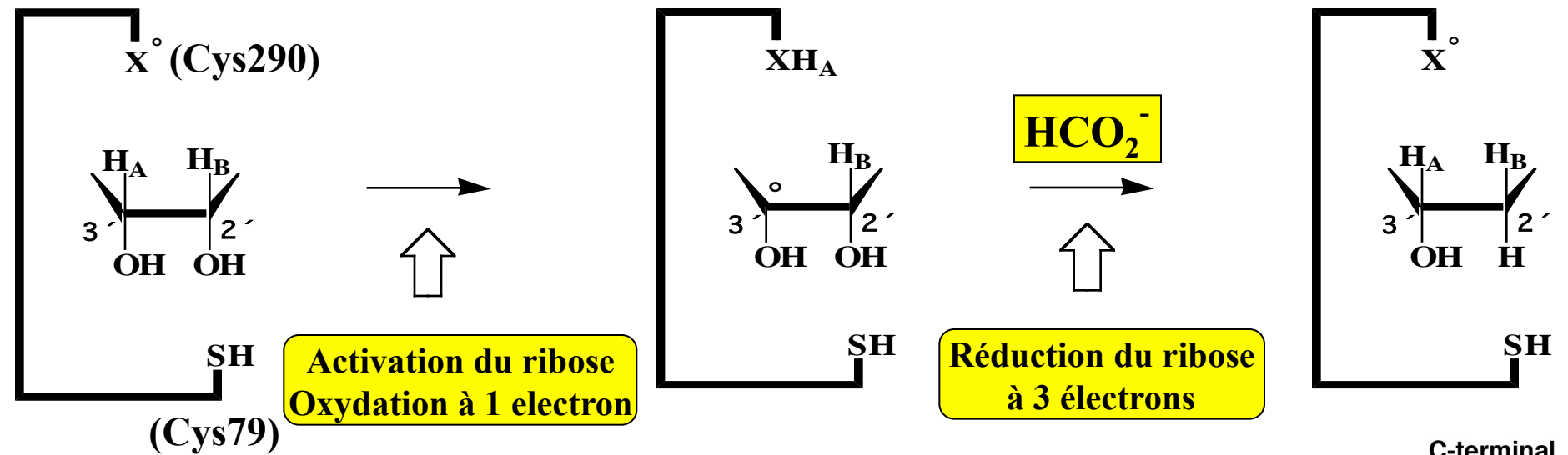


Activase  
nrdG  
2x17.5 kDa



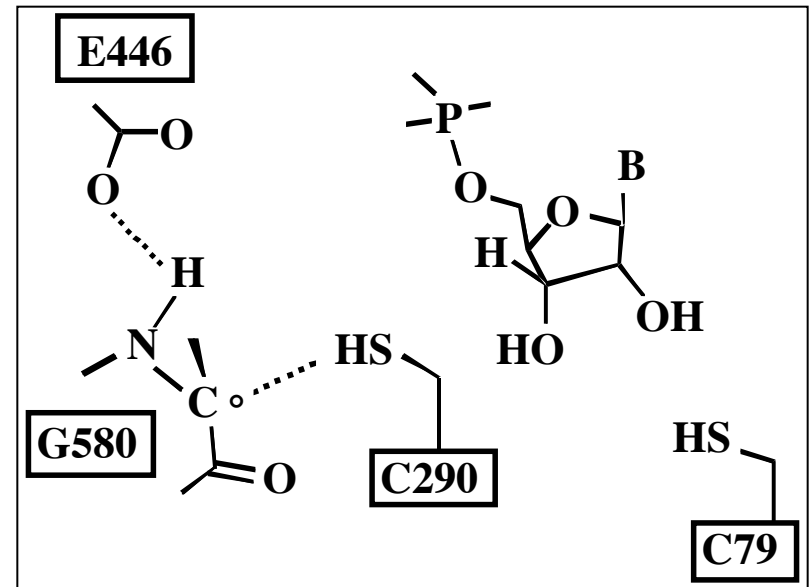
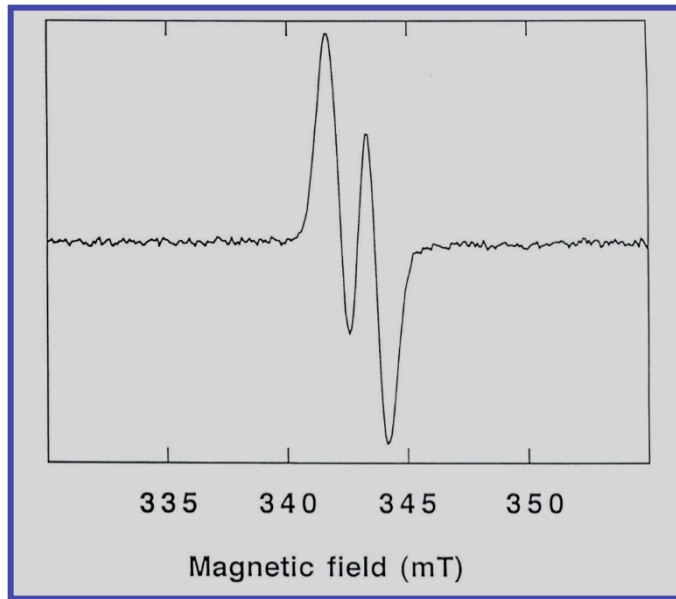
protéine  $\beta$



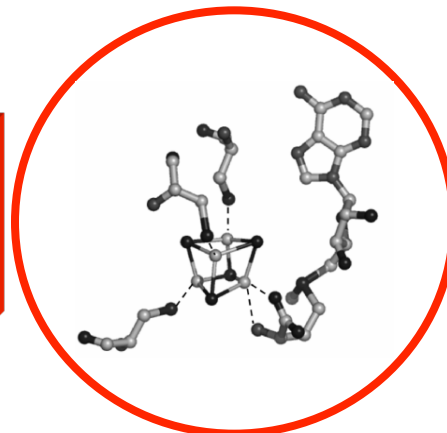


# Formation du radical glycinyle ?

## Fonction de l'activase (protéine $\beta$ )

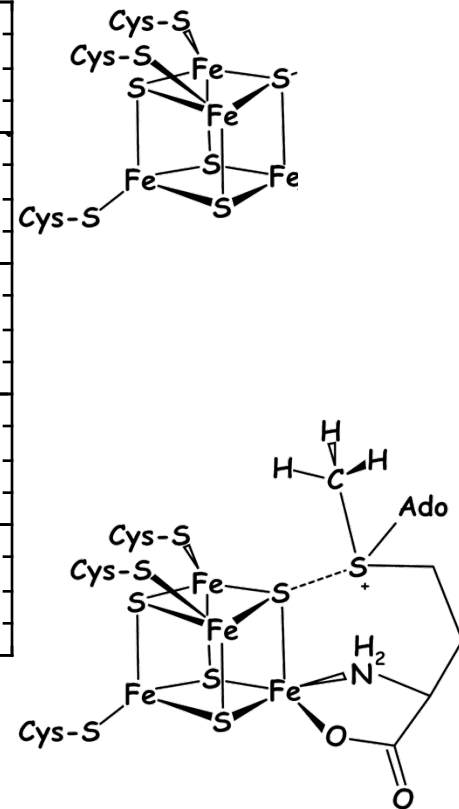
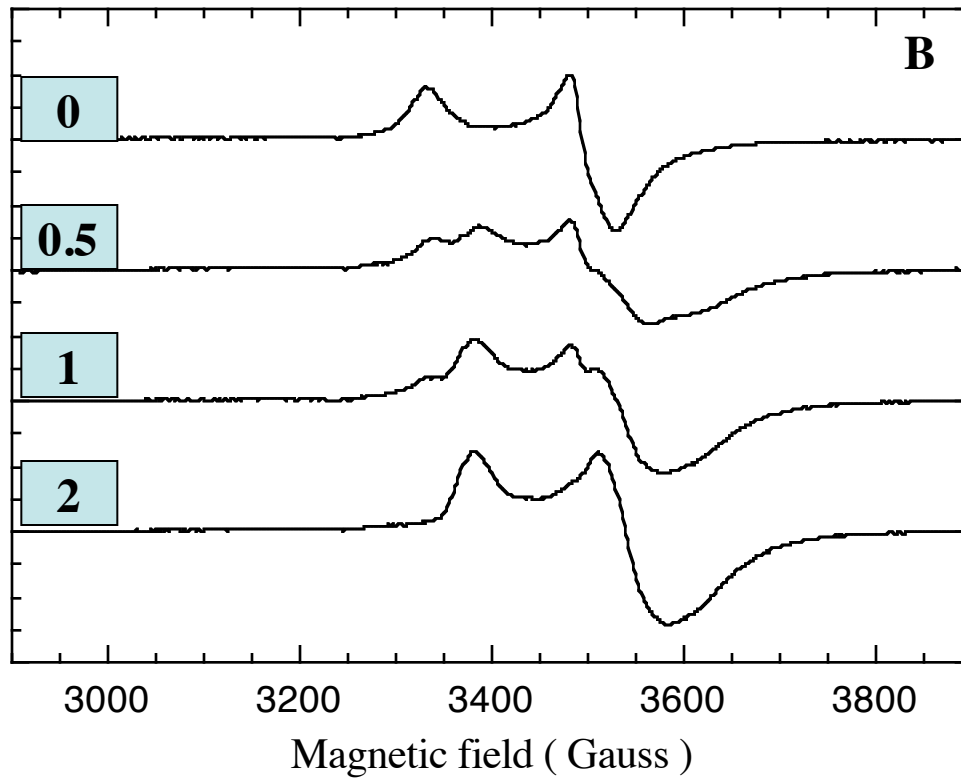
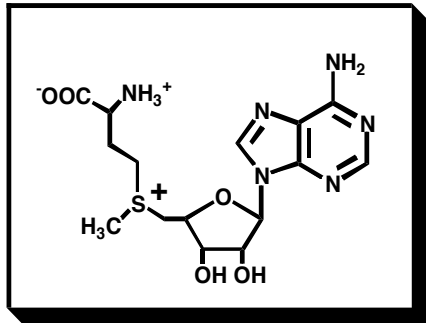


Activase  
nrdG  
2x17.5 kDa



# Un complexe [4Fe-4S]-SAM dans l'activase

Protéine  $\beta$

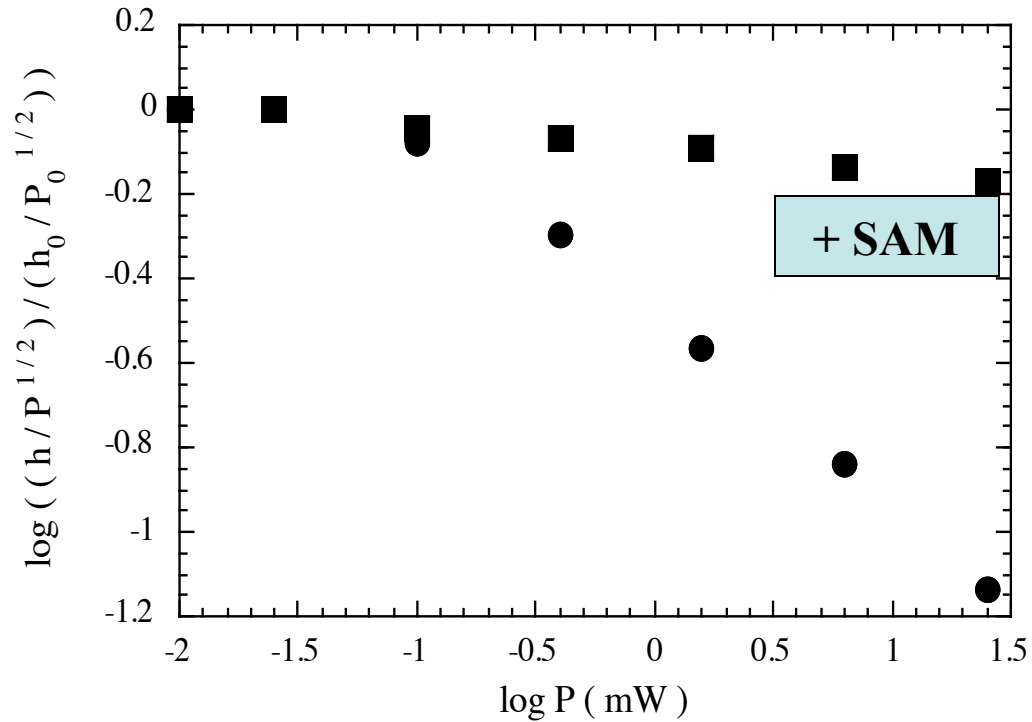


Resonance paramagnétique électronique

# Un complexe [4Fe-4S]-SAM dans l'activase



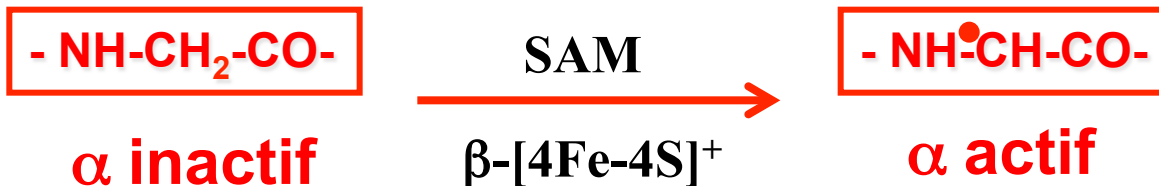
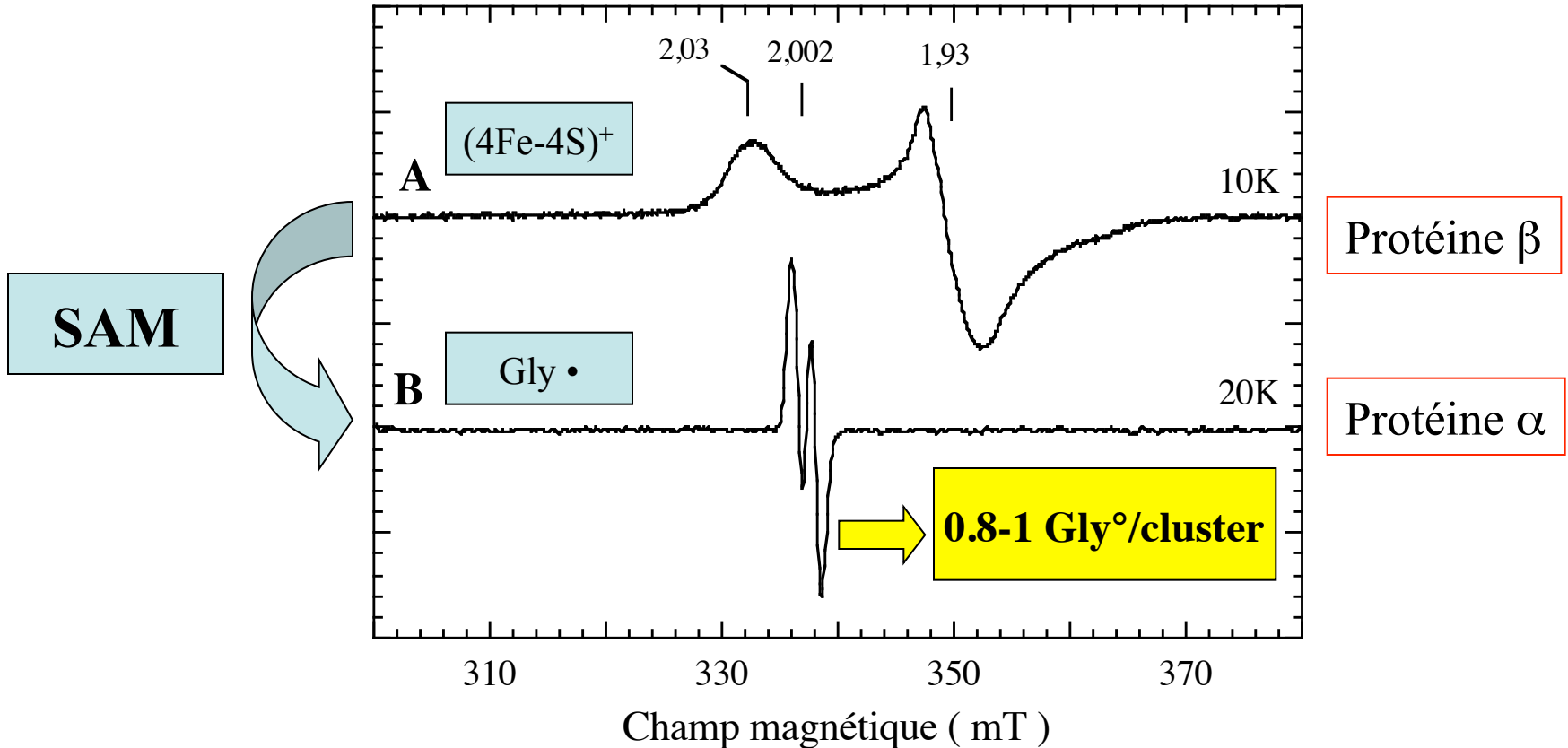
Figure 2



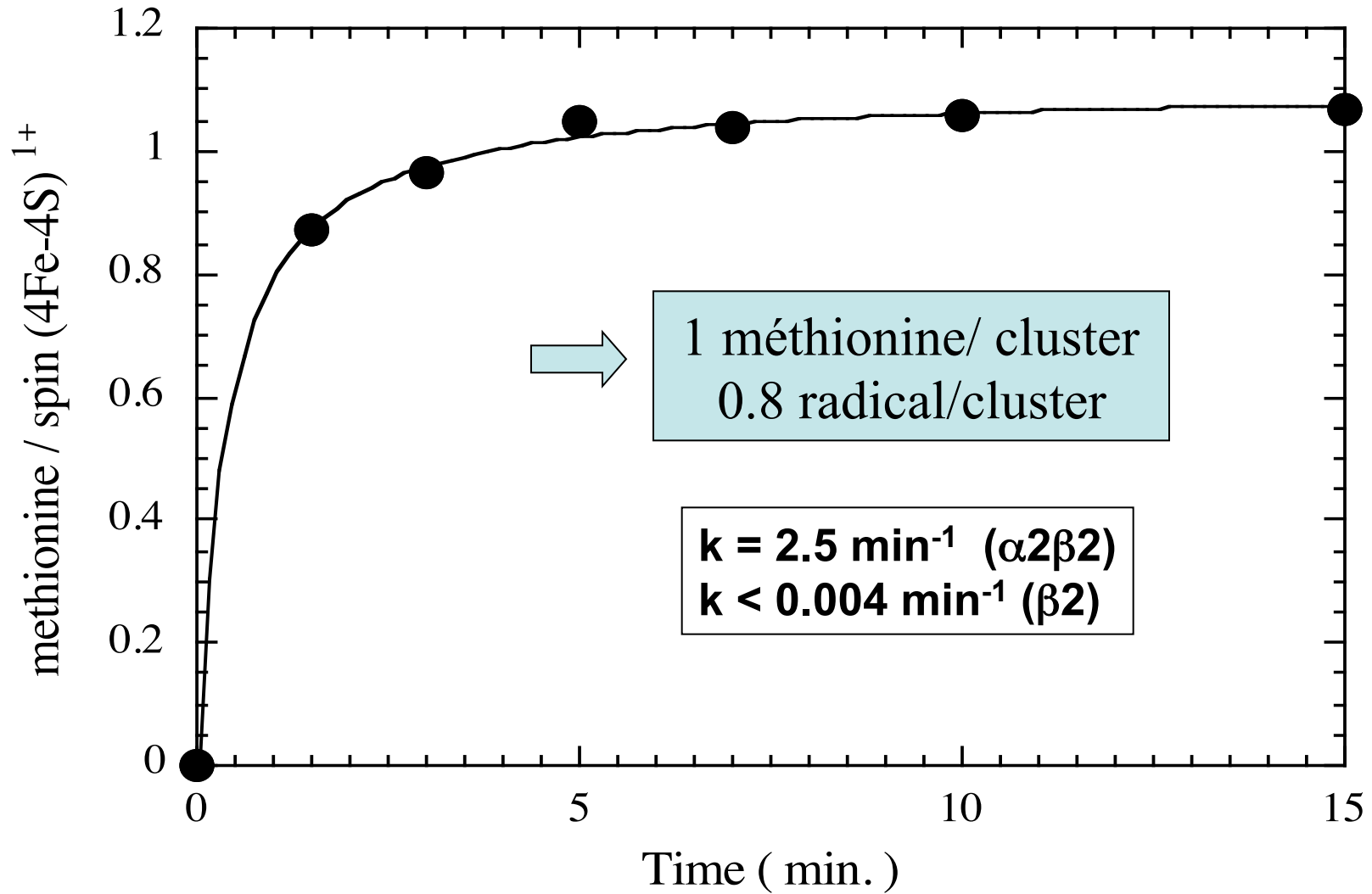
# Activation de la ribonucléotide réductase: d'une espèce paramagnétique à une autre dans le complexe $\alpha 2\beta 2$

A : 220  $\mu\text{M}$  ; 25  $\mu\text{W}$  ;  $5 \cdot 10^4$  ; 1 mT ; 9,45 GHz

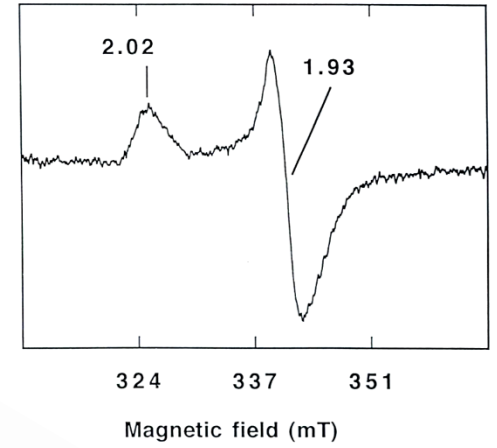
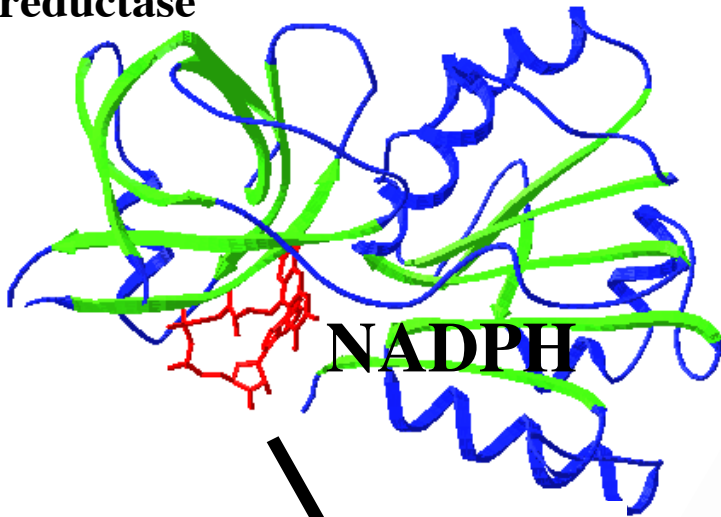
B : 220  $\mu\text{M}$  ; 0,25  $\mu\text{W}$  ;  $2 \cdot 10^5$  ; 1 mT ; 9,45 GHz



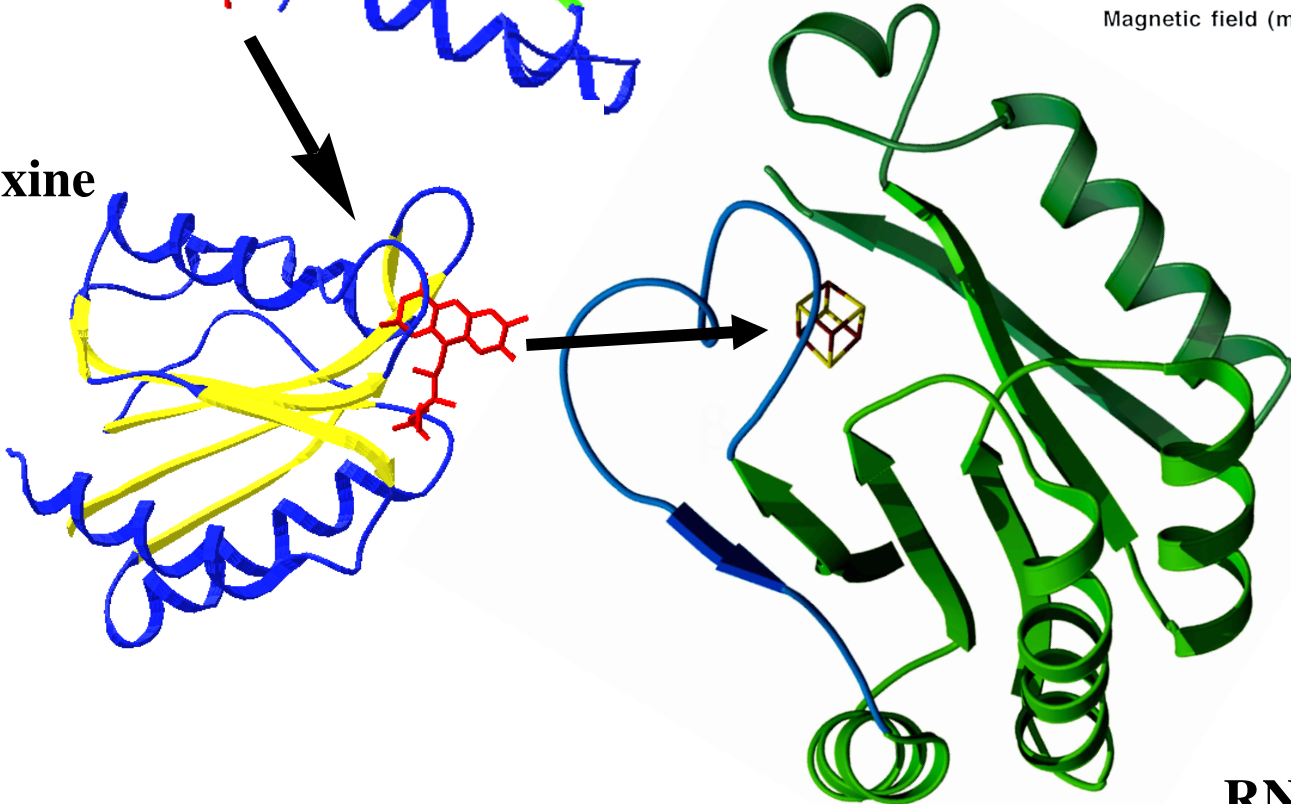
## Clivage de SAM par le complexe $\alpha_2\beta_2$



**flavodoxine réductase**



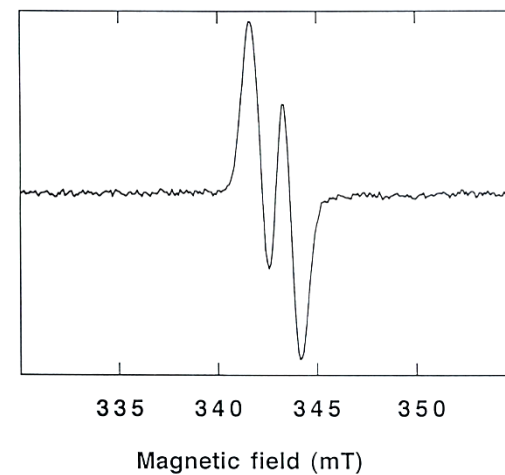
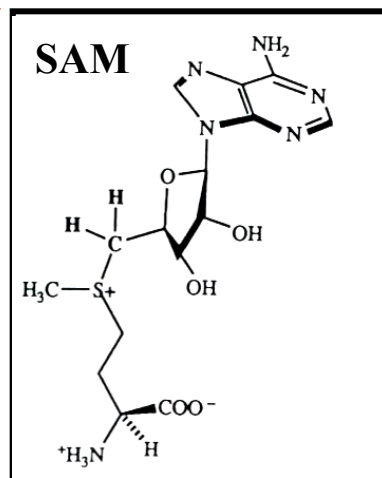
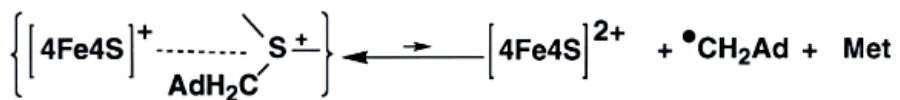
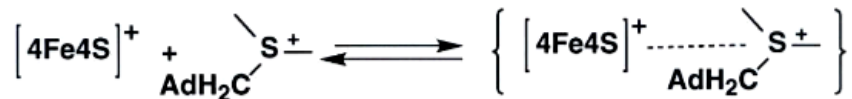
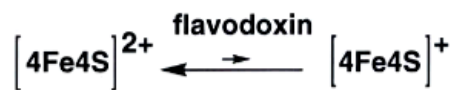
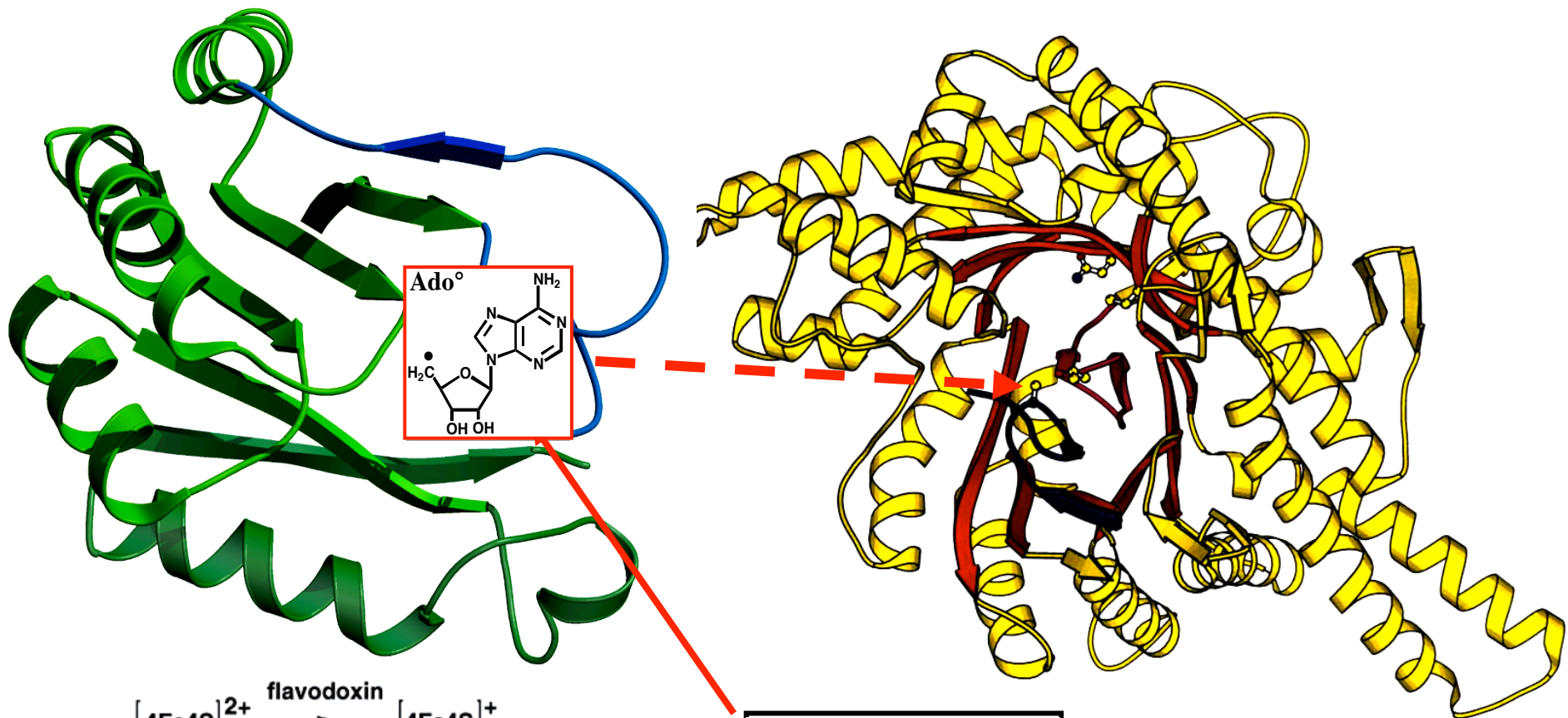
**flavodoxine**



**RNRβ**

Un modèle structural de RNRβ : Y. Nicolet, IBS, Grenoble

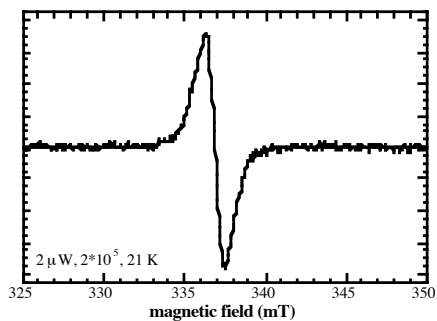
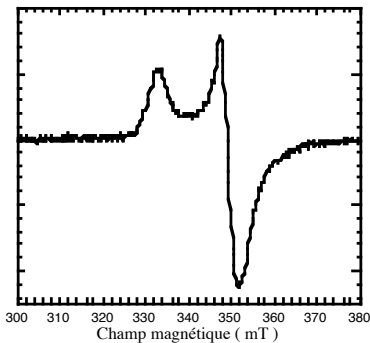




# 1 - REACTION

$\alpha$  (GlyD)red  $\beta$  red

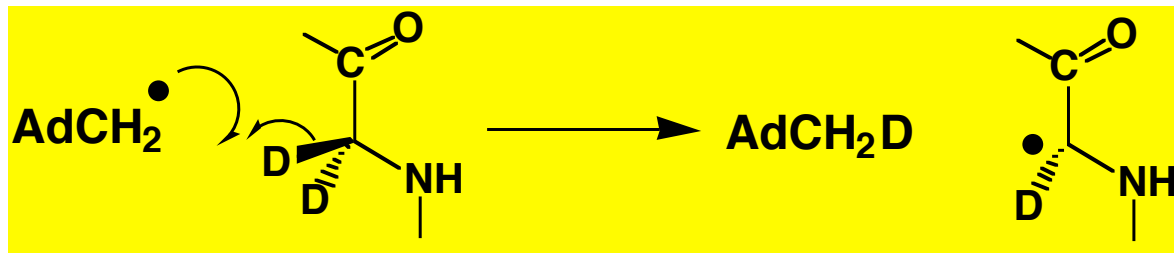
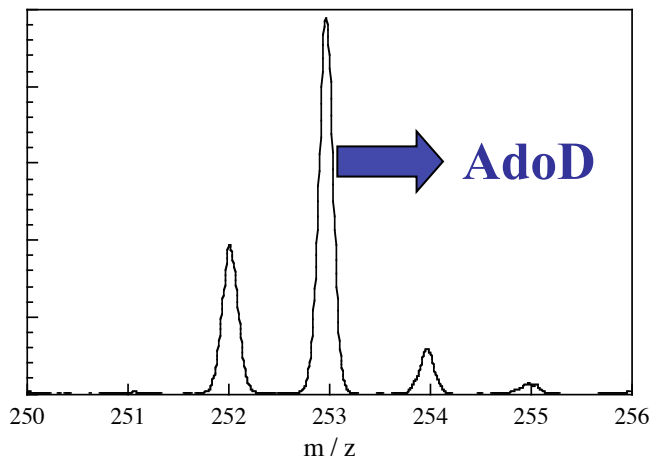
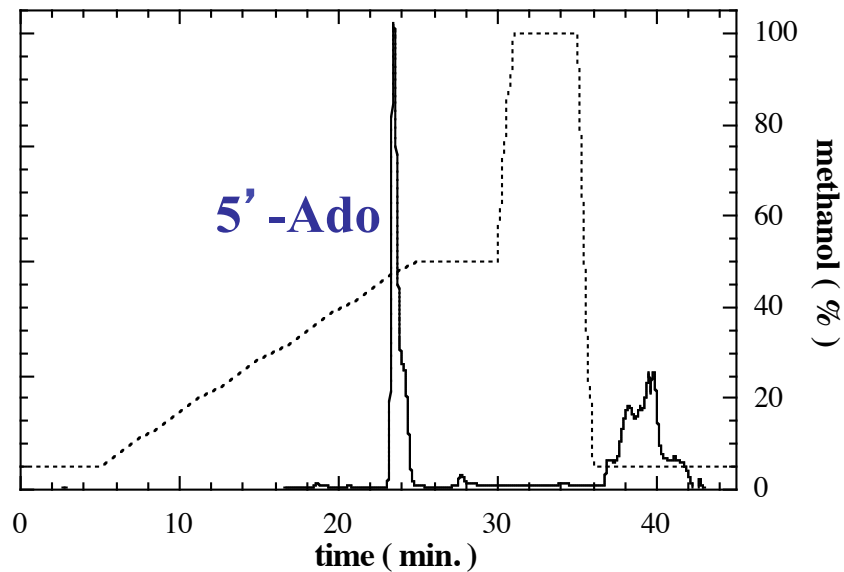
AdoMet  
(dark)



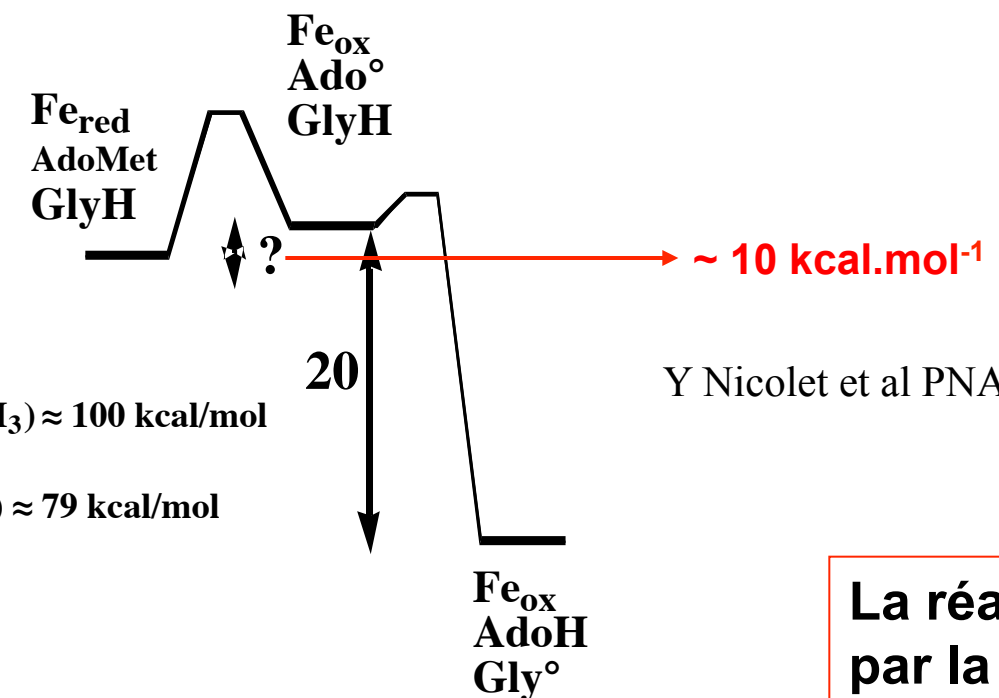
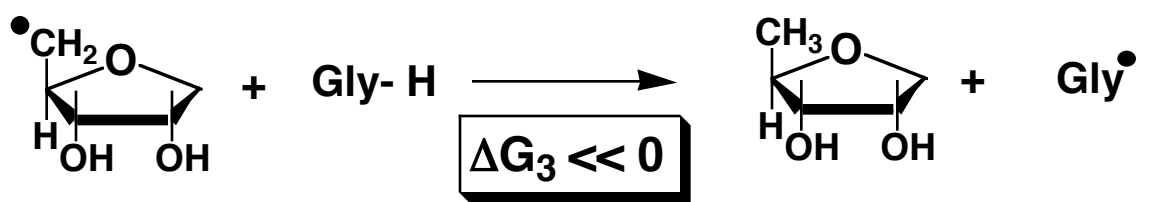
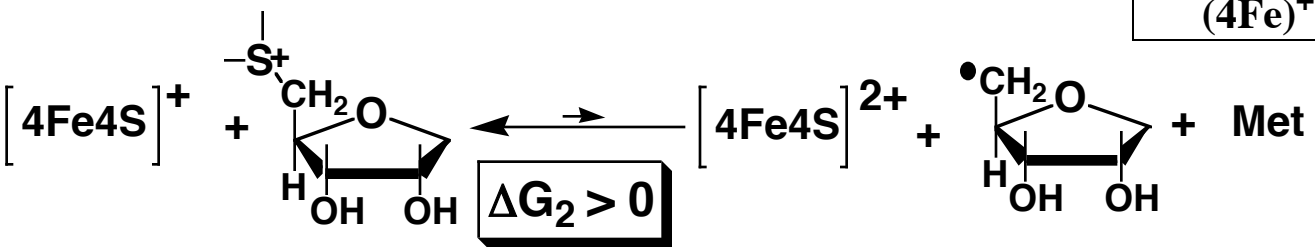
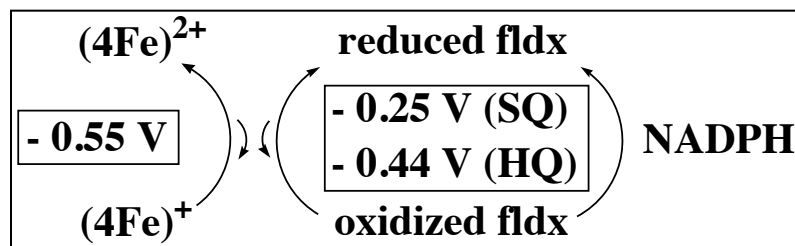
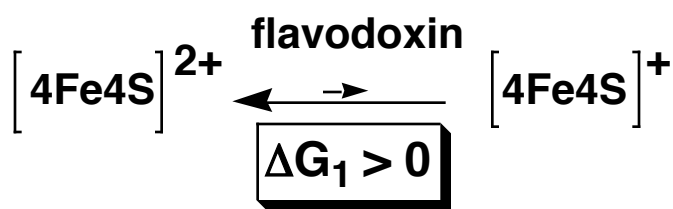
TCA 1 M

Met

5'-Ado

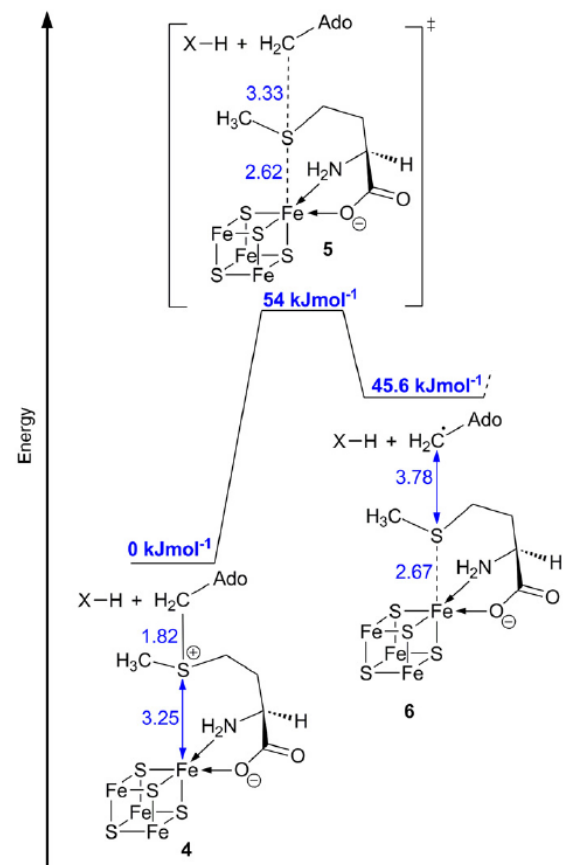


➡ Un transfert de radical « **direct** »



$E_{\text{C-H}}(\text{AdCH}_3) \approx 100 \text{ kcal/mol}$

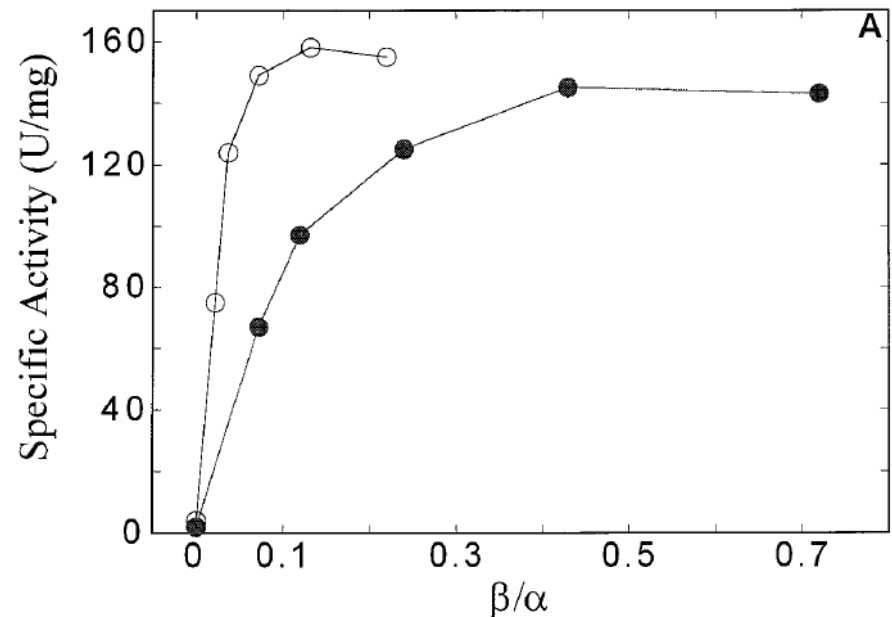
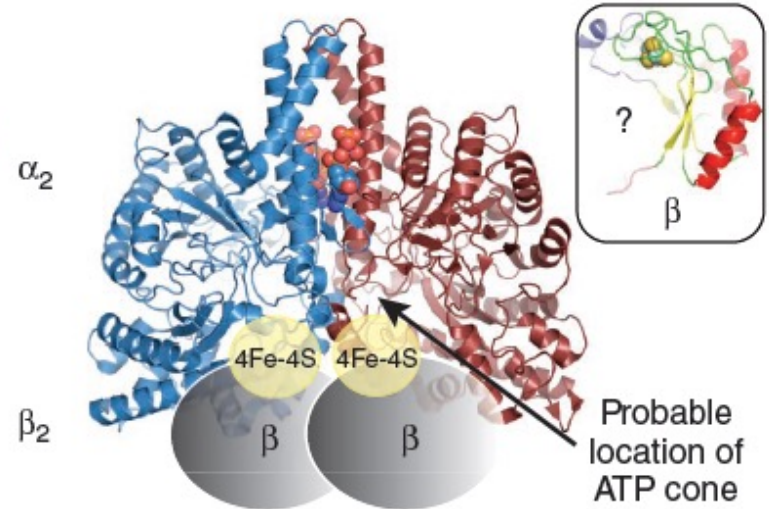
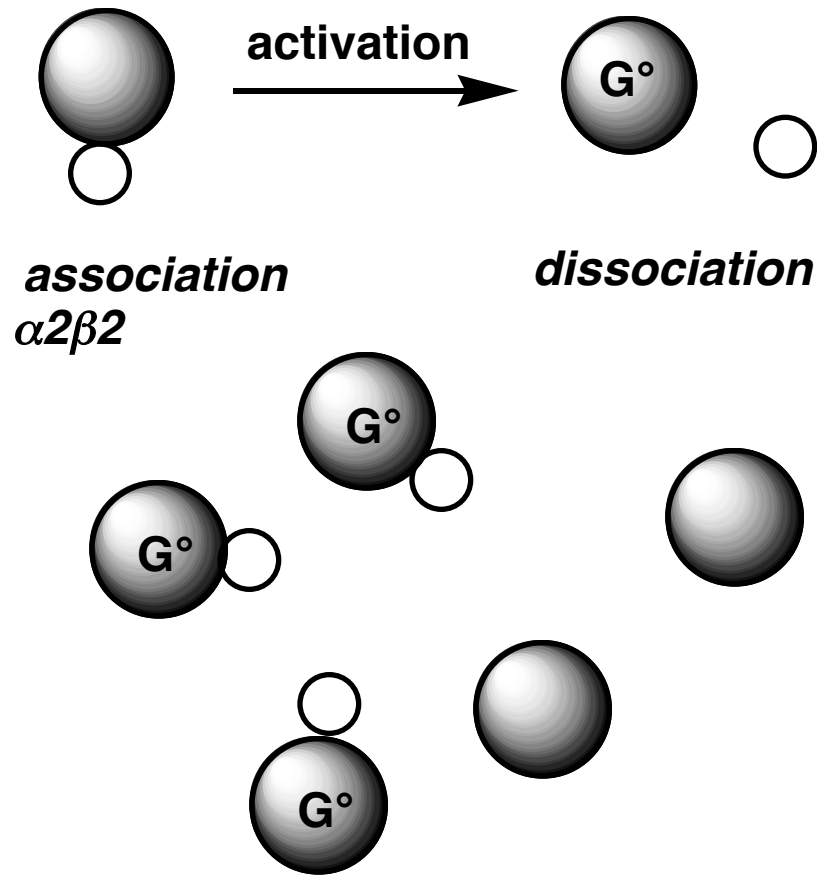
$E_{\text{C-H}}(\text{GlyH}) \approx 79 \text{ kcal/mol}$



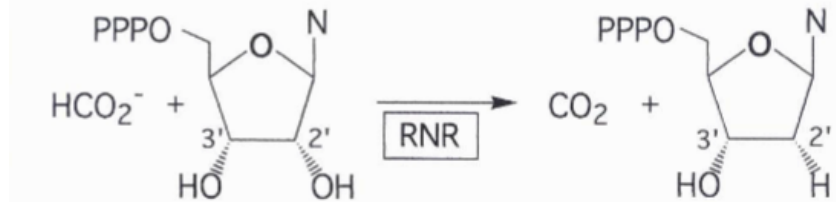
La réaction est « tirée »  
par la stabilité du radical Gly $^{\circ}$

# Protéine $\beta$ est une » activase

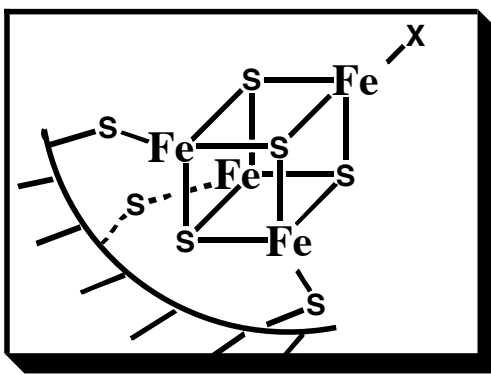
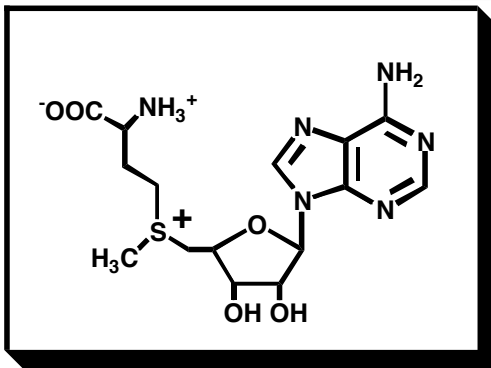
J. Tamarit, M. Fontecave et al  
*J. Biol. Chem* 1999 274 31291



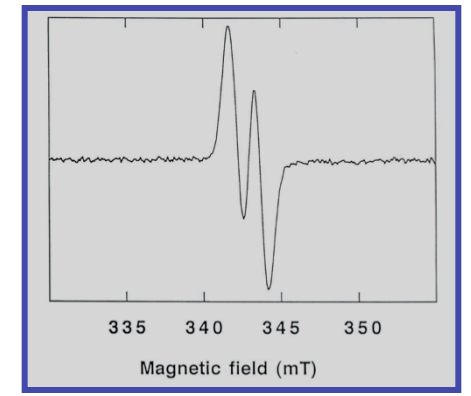
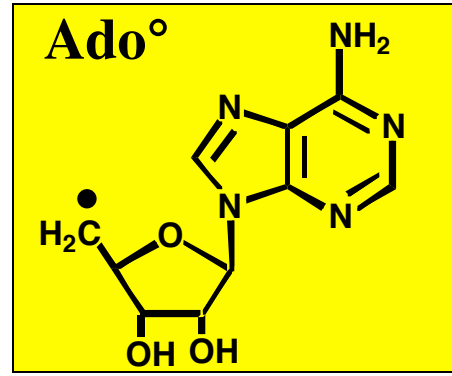
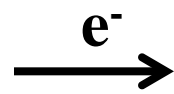
La ribonucléotide réductase anaérobie:  
 SAM (S-Adenosylméthionine) + cluster fer-soufre:  
 Un système de formation de radicaux



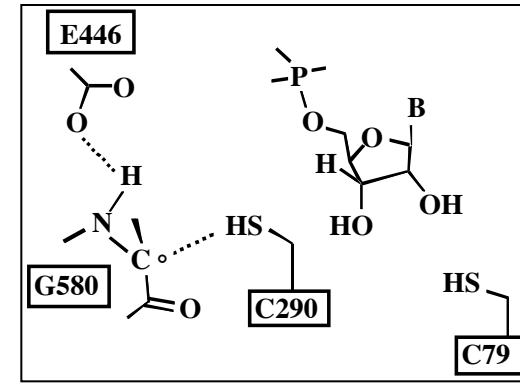
**SAM**



**[4Fe-4S]**



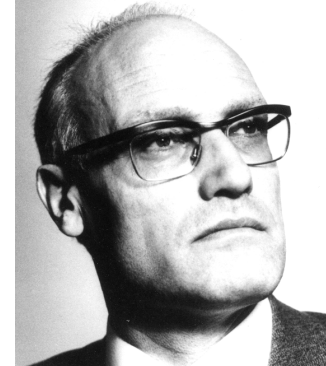
**Radical glycinyle**



# Enzymes Radical-SAM : les fondations

## Pyruvate-formate lyase (J. Knappe):

- SAM est nécessaire (1965)
- SAM est clivée au cours de la réaction (1976)
- Un radical protéique (1984), un radical glycinyle (1992)



## Lysine aminomutase (P. Frey):

- SAM is nécessaire (Barker, 1970)
- SAM une source de Ado<sup>o</sup> (1987)
- une enzyme fer-soufre (1991)



## Ribonucléotide réductase (P. Reichard, M. Fontecave):

- une nouvelle ribonucléotide réductase (1987)
- SAM est nécessaire (1989)
- un cluster [4Fe-4S] (1993) impliqué dans le clivage de SAM (1996)
- Un radical glycinyle (1993)



# Enzymes Radical-SAM

HJ Sofia Nucleic Acids Res (2001) 29 1097

**Cys-X-X-X-Cys-X-X-Cys**

									<i>enzyme</i>	<i>fonction</i>		
RNR	G	C	V	H	E	C	P	G	C	Y	-ribonucleotide reductase	Synthèse ADN
PFL	G	C	L	M	R	C	L	Y	C	H	-pyruvate-formate lyase	Métabolisme pyruvate
BioB	Y	C	P	E	D	C	G	Y	C	S	-biotin synthase	Synthèse biotine
BSS	G	C	P	L	R	C	P	W	C	S	-benzylsuccinate synthase	Métabolisme toluene
LS	I	C	T	R	R	C	P	F	C	D	-lipoate synthase	Synthèse lipoate
SPL	G	C	M	G	H	C	H	Y	C	Y	-spore photoproduct lyase	Réparation ADN
LAM	M	C	S	M	Y	C	R	H	C	T	-lysine aminomutase	Métabolisme lysine
miaB	G	C	N	K	Y	C	T	Y	C	V	- miaB gene product	Modification ARNt

## La même chimie radicalaire pour:

### **Biosynthèse** de:

- Cofacteurs (lipoate, PQQ, molybdoptérine...)
- Antibiotiques (désosamine, mitomycine, fosfomycine,...)
- Vitamines (biotine, thiamine,...)
- Alcaloïdes
- Chlorophylle

### **Métabolisme** de:

- Sucres
- Amino-acides
- Hydrocarbures

### **Modification** de:

- ARNs de transfert
- Enzymes

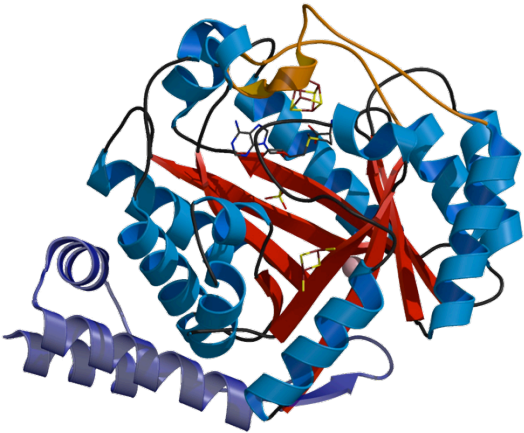
### **Réparation** de:

- ADN

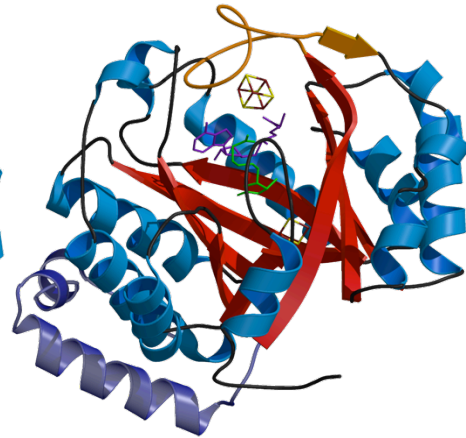


# La superfamille « Radical-SAM »: structures

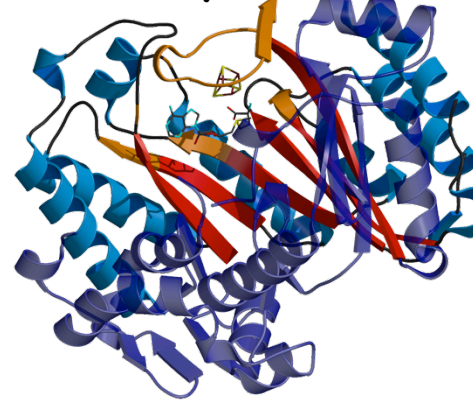
HydE 1.5 Å  
maturase



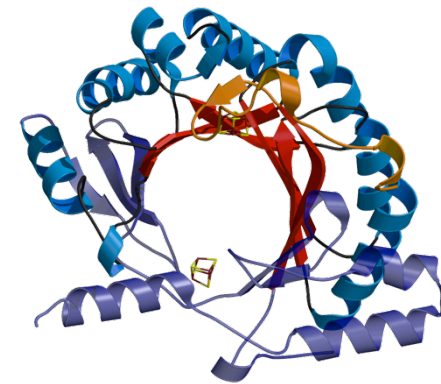
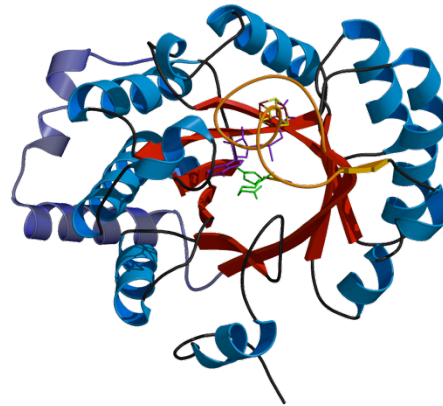
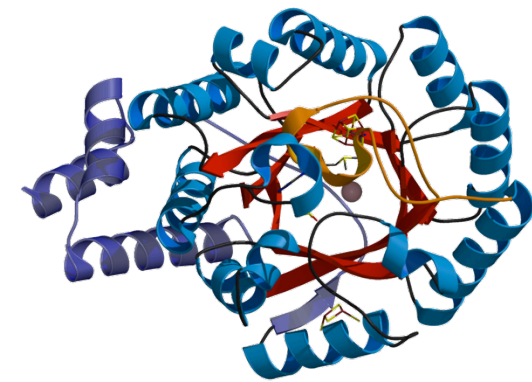
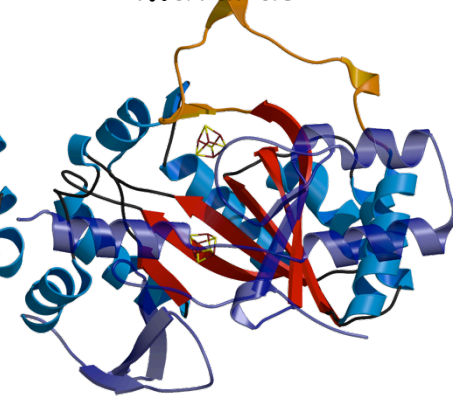
BioB 3.4 Å  
Biotine synthase



HemN 2.07 Å  
Coproporphyrinogen  
synthase



MoaA 2.2 Å  
maturase



rmsd: -

2.3 Å (292  $c_{\alpha}$ )

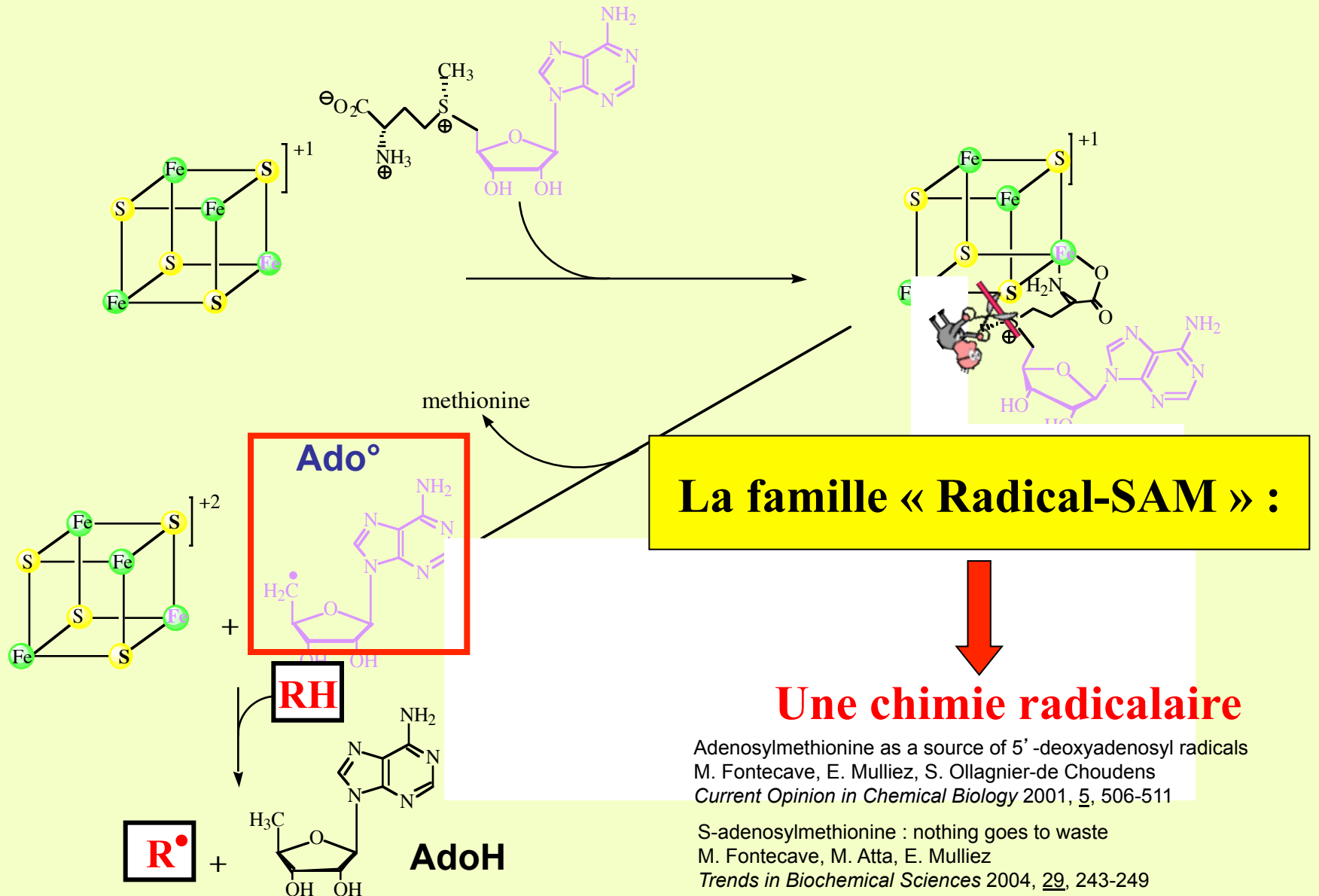
3.7 Å (192  $c_{\alpha}$ )

4.3 Å (232  $c_{\alpha}$ )

Y. Nicolet et al Nucleic Acids Research, 2004, (32) 4015–4025

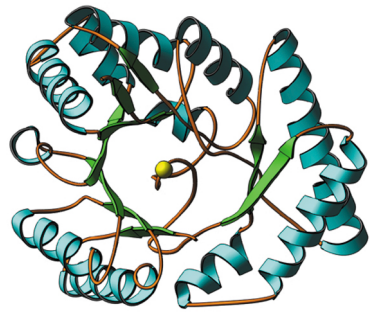
C. Drennan et al, Chem Rev 2011

Figure 6



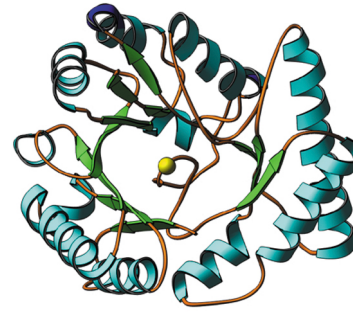
**RH: protéine (glycine) ou substrat**

# Les 3 classes de ribonucléotide réductases: Des enzymes radicalaires



**Class I**

**Eucaryotes  
(HS, plantes,..)**



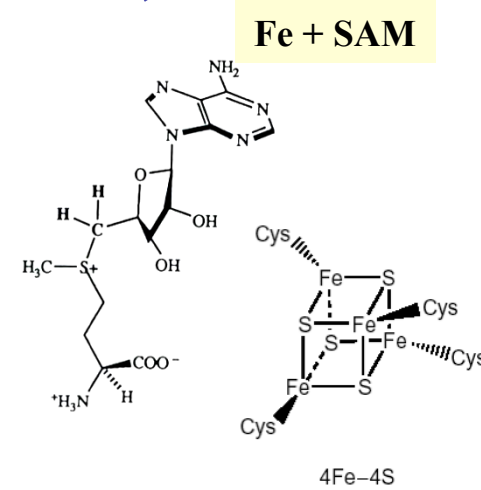
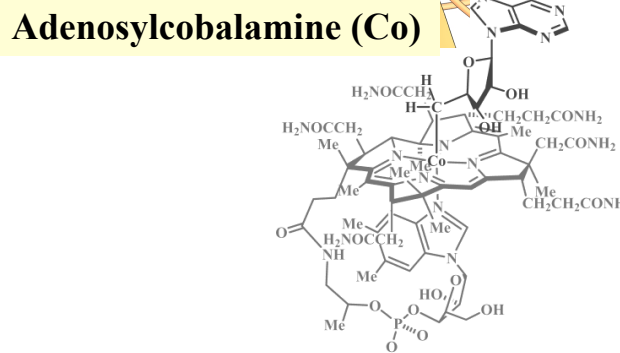
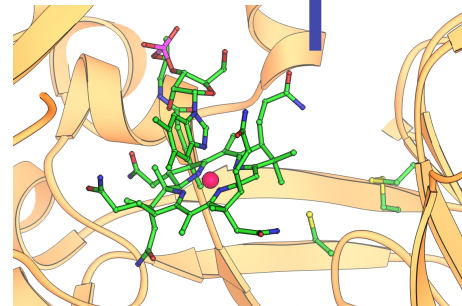
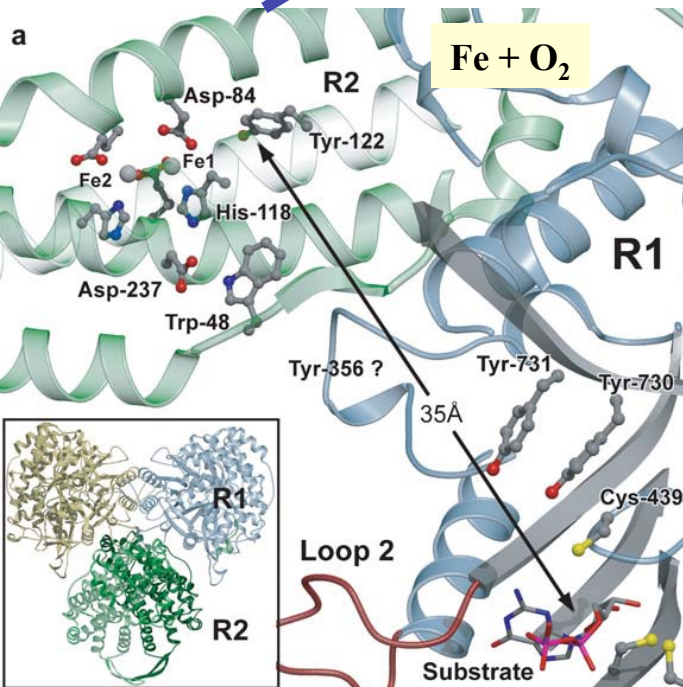
**Class II**

**Bactéries  
archaebactéries**



**Class III**

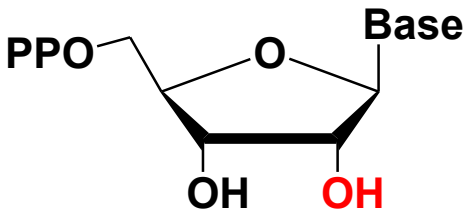
**microorganismes  
anaérobies**



# Du monde à ARN au monde à ADN: la RNR primitive ?

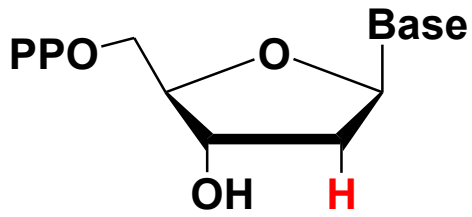
Monde ARN

ribonucleotide → RNA → protein



Monde ADN

**RIBONUCLEOTIDE REDUCTASE**



deoxyribonucleotide → DNA

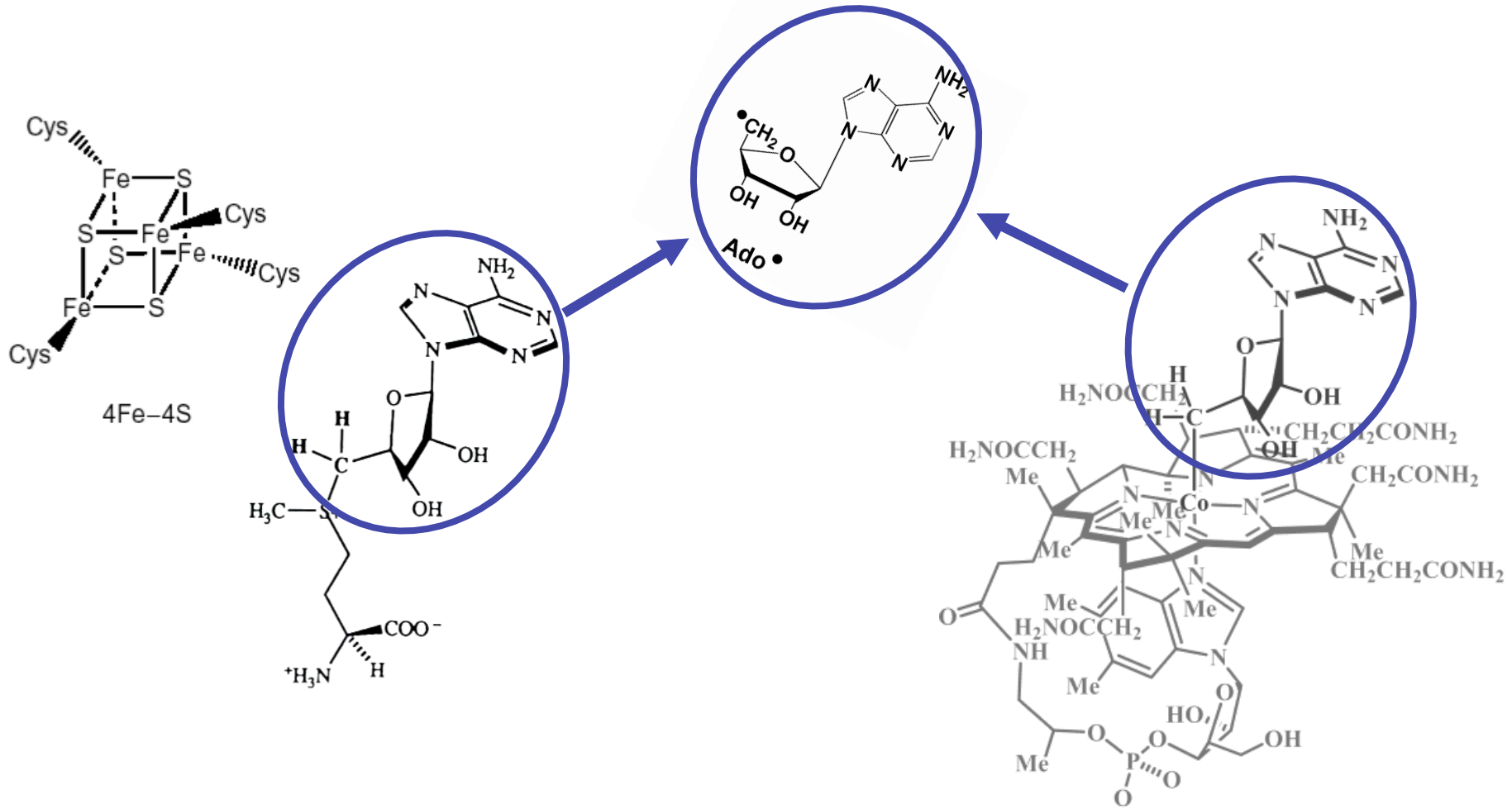
replication

### anaérobiose

The diagram shows a 4Fe-4S cluster, a common cofactor in primitive enzymes. It consists of four iron (Fe) atoms and four sulfur (S) atoms in a cubane-like arrangement. Cysteine (Cys) residues are coordinated to the iron atoms. To the right, a cysteine derivative is shown with a methylsulfonium group (H<sub>3</sub>C-S<sup>+</sup>) and a carboxylate group (COO<sup>-</sup>).

The reaction shows the reduction of a ribonucleotide to a deoxyribonucleotide. The reactant is a ribonucleotide with a phosphate group (PPPO) and a base (N). The 2' carbon of the sugar has a hydroxyl group (OH) and the 3' carbon has a hydroxyl group (HO). The reaction is catalyzed by RNR (Ribonucleotide Reductase). The product is a deoxyribonucleotide where the 2' carbon has a hydrogen atom (H) instead of a hydroxyl group. The 3' carbon still has a hydroxyl group (HO). The reaction also produces CO<sub>2</sub> as a byproduct.

**S-Adenosylmethionine, un donneur de radicaux 5'-deoxyadénosyles:  
Une adénosylcobalamine (cofacteur B12) primitive ?**



**[Fe-S] + S-Adénosylméthionine**

**Adénosylcobalamine**

**évolution**

# Transfert de radicaux dans les systèmes biologiques: Les ribonucléotide réductases

**Marc Fontecave**

*Laboratoire de Chimie et Biologie des Métaux, Université Joseph Fourier, CNRS, CEA/DSV/iRTSV  
CEA-Grenoble 17 rue des martyrs 38054 Grenoble cedex 9, France  
mfontecave@cea.fr; Phone: (0033)438789103 ; Fax: (0033)438789124*

*Collège de France, 11 Place Marcelin Berthelot, 75231 Paris Cedex 05*



COLLÈGE  
DE FRANCE  
— 1530 —

